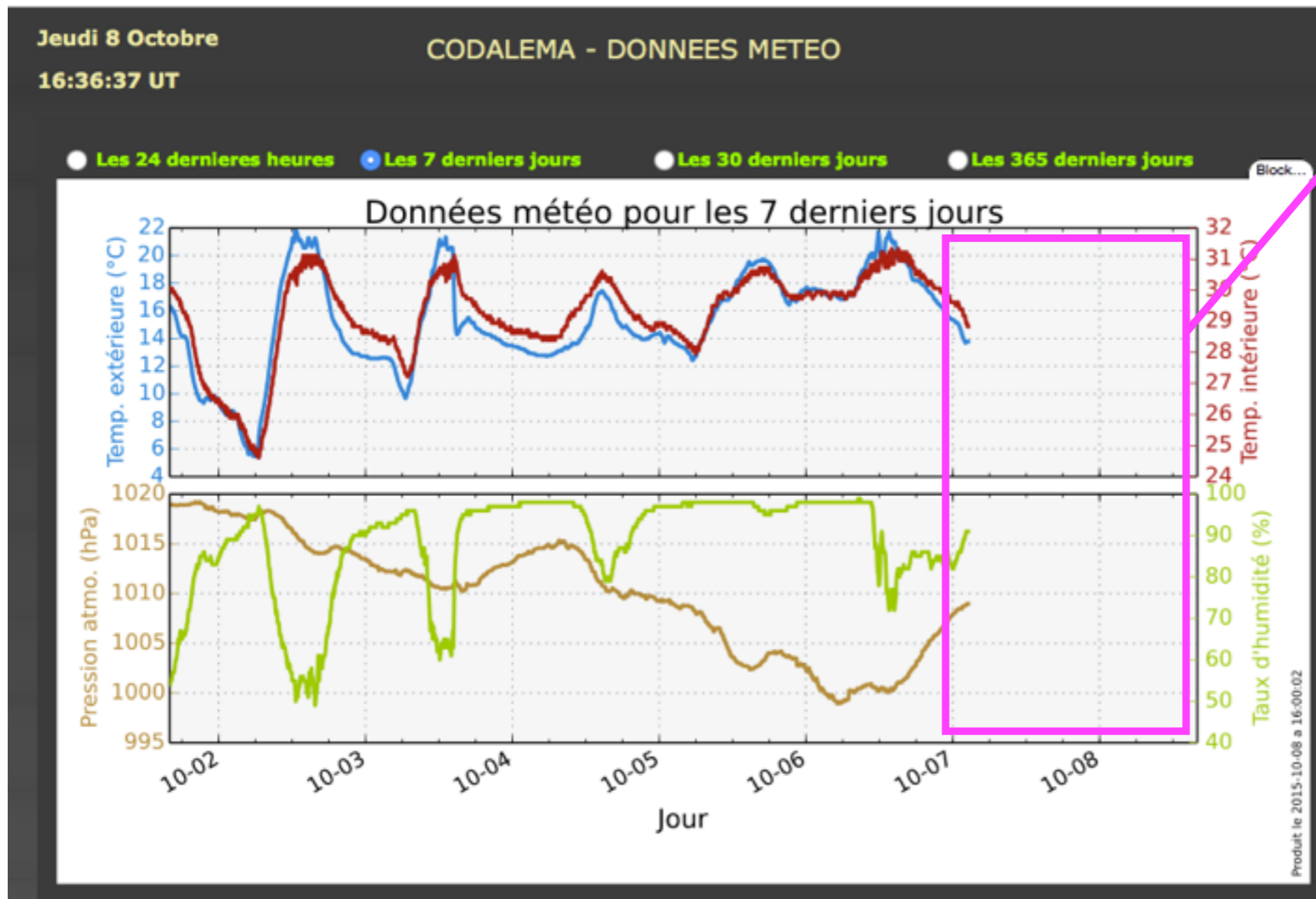


# Station météo

- Surveillance de la température, de la pression atmosphérique et du taux d'hygrométrie au niveau du toit du conteneur CODALEMA
- Acquisition des données pilotée (Labview) par le PC d'acquisition des données scintillateurs (CodaDaqSC)
- Graphes évolutifs sur la page web de monitoring de CODALEMA



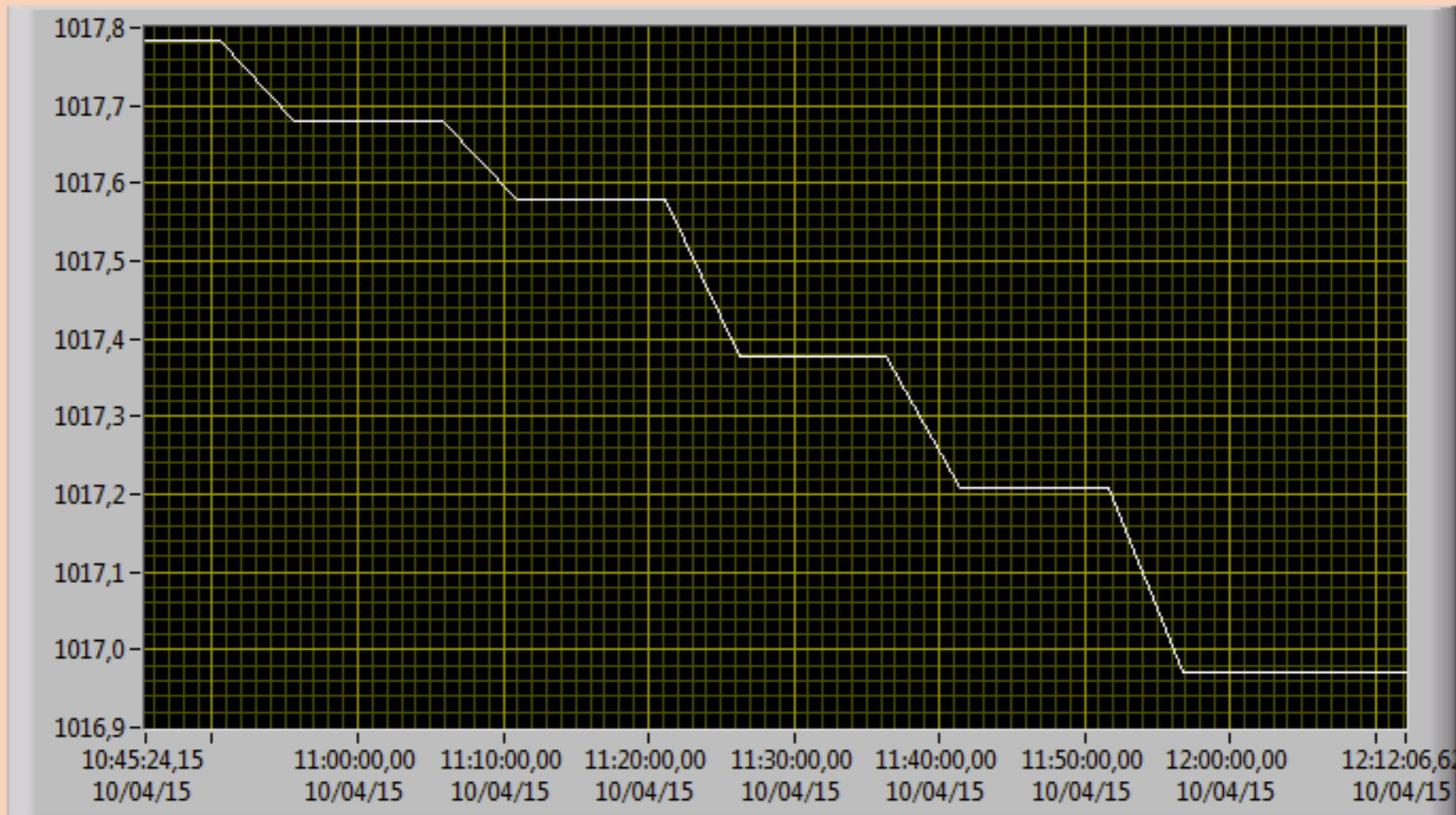
Elle a tendance à se “planter” ! ici, elle était en panne...

Comment la mettre à contribution dans LICORNE ? Que peut-elle apporter ?

Monitoring Graphes

P: Stassi - LPSC Grenoble - Version 1-0

Pressure (hPa) In Temperature (C) Out Temperature (C) Humidity (%)



Start Time 2

10/04/2015 10:41:05

Path H:\



Auto Save ON  
Auto Clear ON

Every (h) 2  
Saving

Refresh (min)

5

194 Elapsed Time (s)

Reading



Reading Status



EXIT

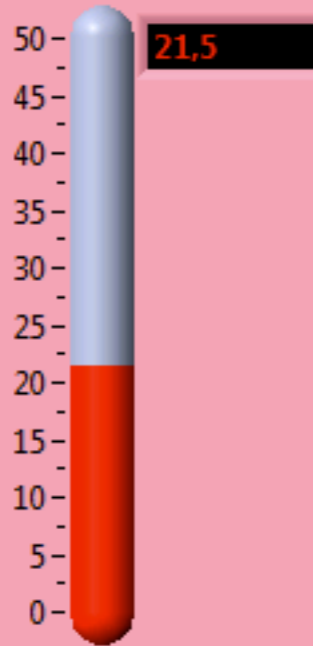


Monitoring

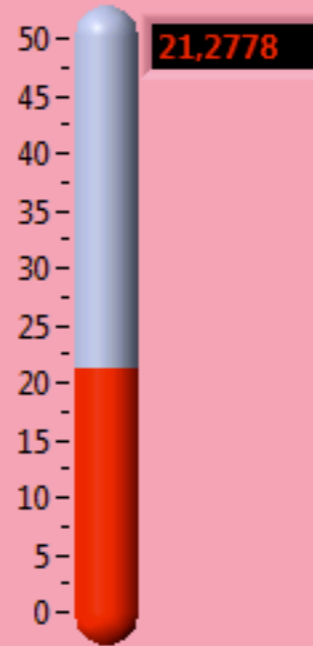
Graphes

P: Stassi - LPSC Grenoble - Version 1-0

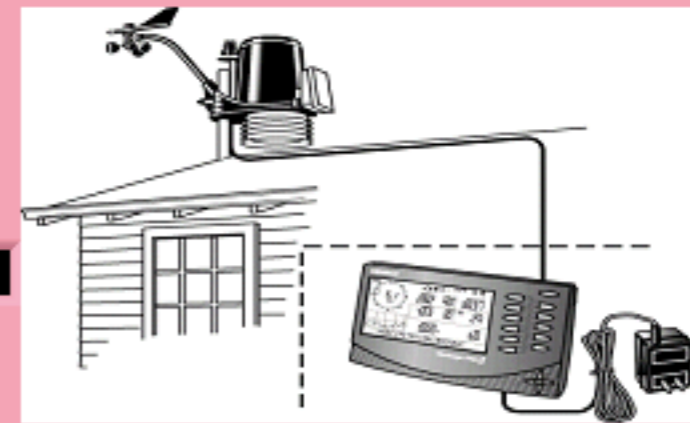
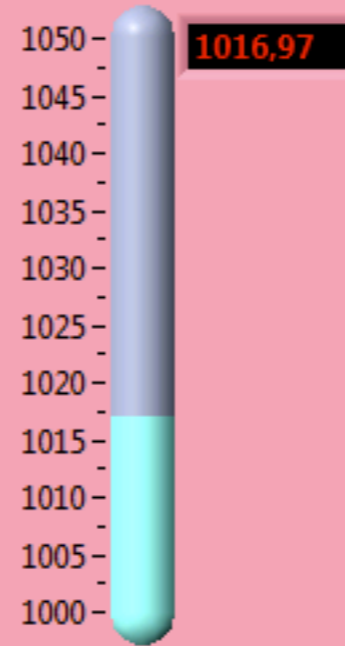
In Temperature (C)



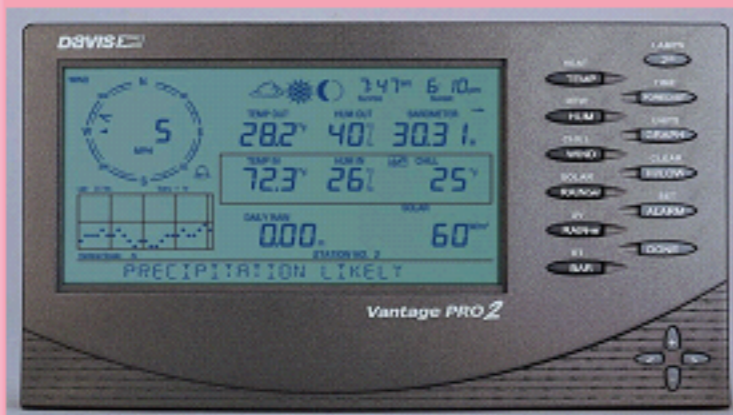
Out Temperature (C)



Pressure



Humidity (%)



Refresh (min)

5

214

Elapsed Time (s)

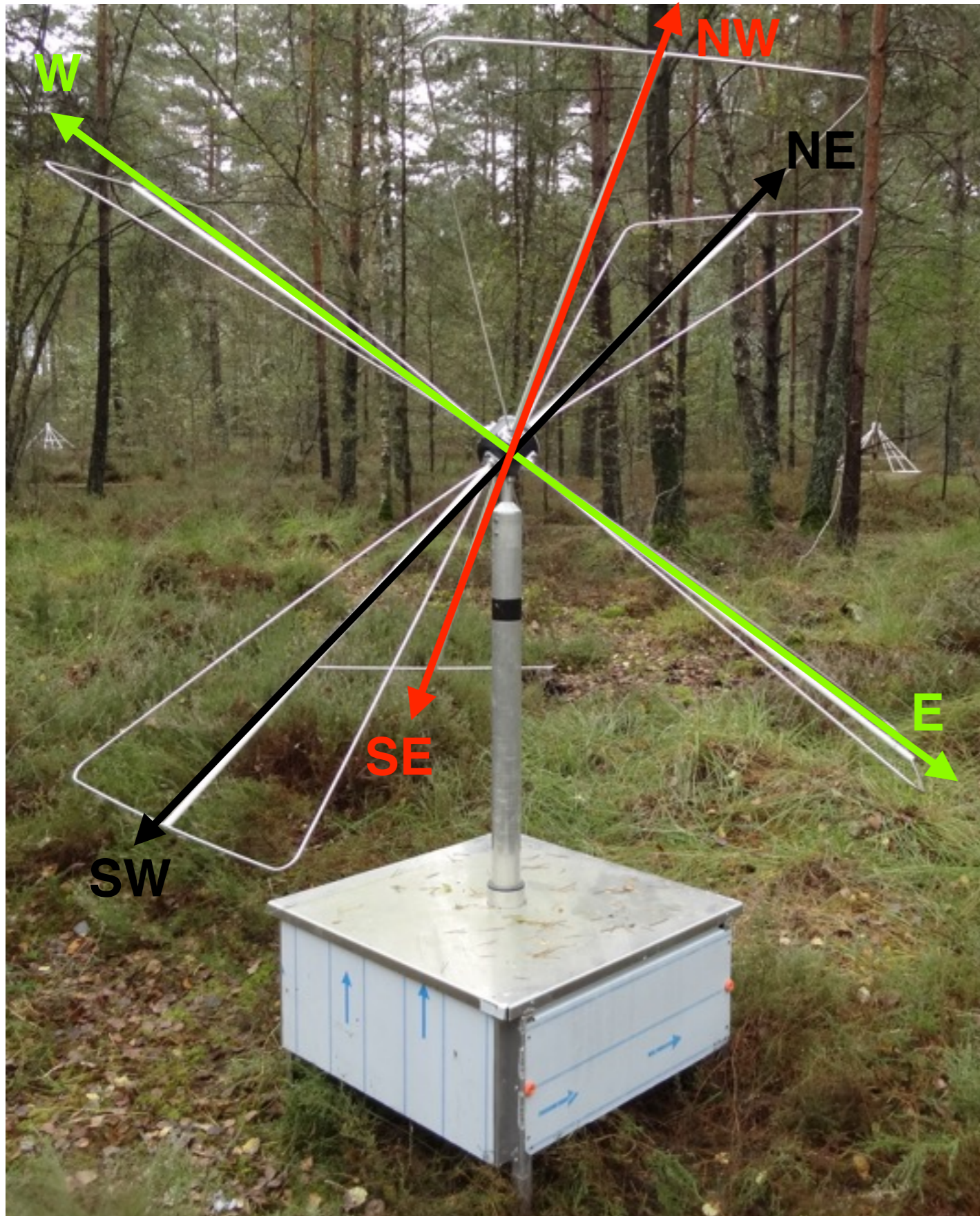
Reading



Reading Status

EXIT

# Antenne "Tripole"



Trièdre [X,Y,Z] avec:

- rotation de  $45^\circ$  autour du centre de la noix
- rotation de  $45^\circ$  autour de l'axe EW
- rotation de chaque brin de  $45^\circ$

Axes **EW**, **NWSE**, **SWNE**

Amplis LONAMOS "classiques"  
20 - 200 MHz

Numérisation 1 GS/s sur  $2.56 \mu s$

Signaux  $\pm 500$  mV

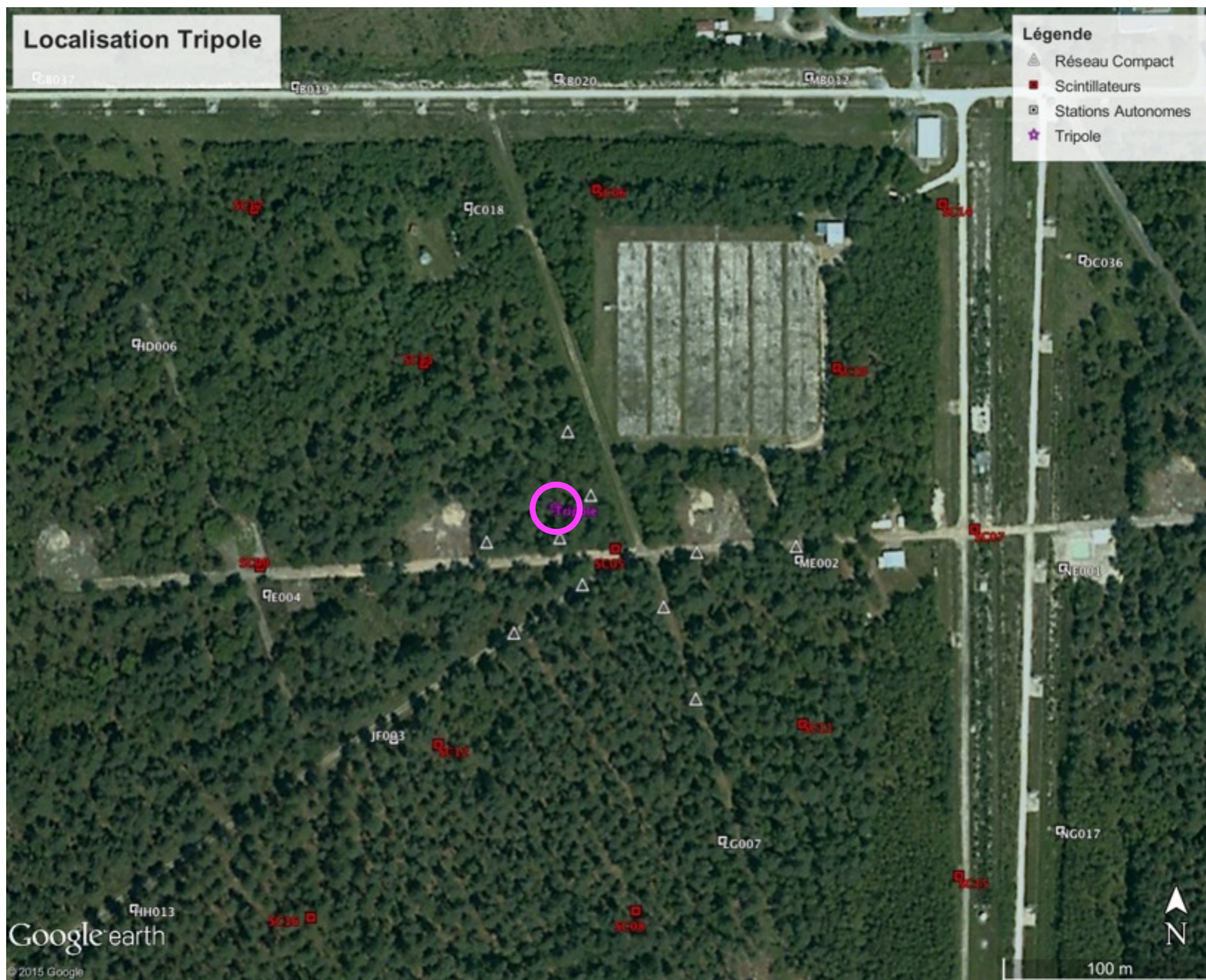
Acquisition déclenchée par chaque trigger "scintillateurs", soit environ toutes les 2 minutes (de l'ordre de 800 à 900 événements par jour)

# Antenne “Tripole”

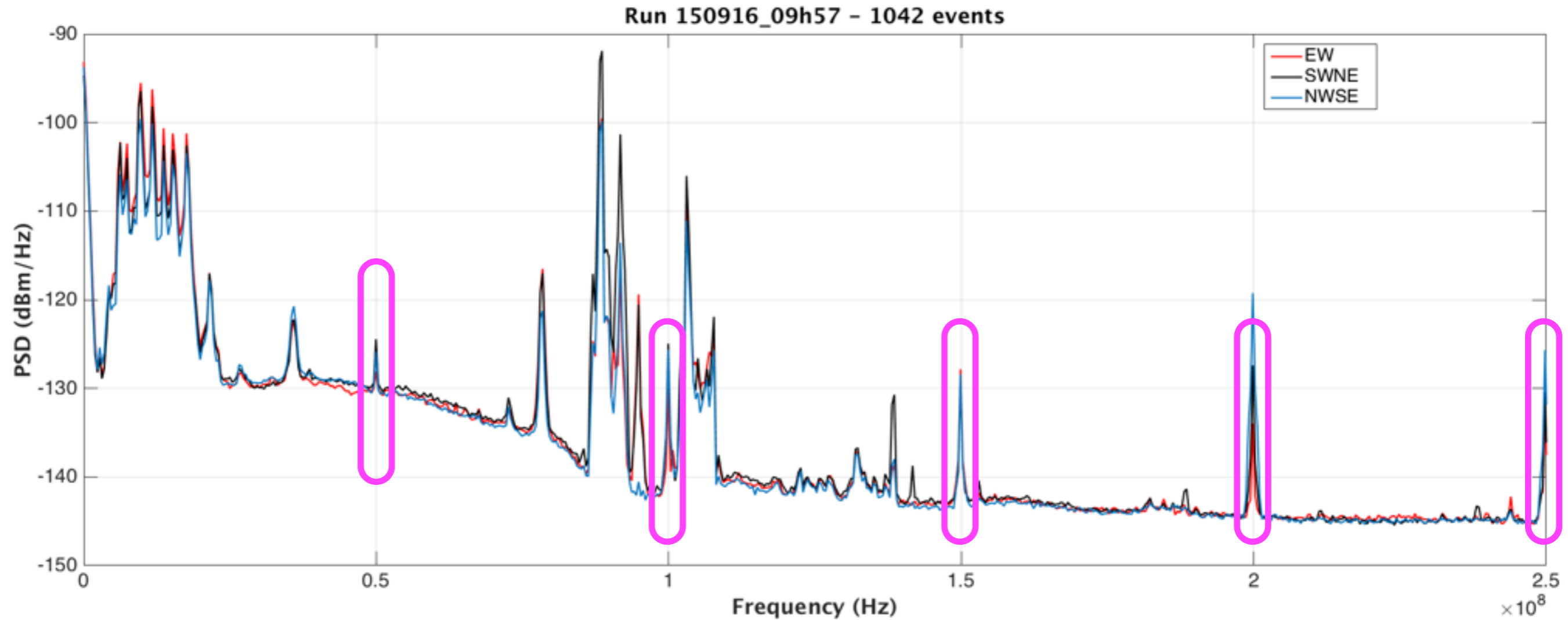
- Seule antenne permettant de mesurer les 3 composantes du champ électrique en une seule fois
  - Procédure de déconvolution encore à écrire pour retrouver  $E_{\text{Total}}$
- Avec le réseau compact, seule antenne [20-200 MHz] dont l'acquisition est déclenchée à chaque événement scintillateurs, donc “rayon cosmique”
- **Objectifs** : vérifier (ou pas) l'hypothèse “champ lointain”. Cette hypothèse que la source du champ électrique mesuré dans les gerbes est lointaine (vs longueur d'onde) entraîne qu'il n'y a pas de composante longitudinale au champ électrique (le long de l'axe de la gerbe). Si elle est vraie, la connaissance de  $E_{\text{NS}}$  et  $E_{\text{EW}}$  suffit pour retrouver  $E_{\text{Vertical}}$ . Dans le cas contraire, le champ total mesuré par l'antenne 3D ne sera pas égal au champ reconstruit par une antenne “plane”.

Comment la mettre à contribution dans LICORNE ? Que peut-elle apporter ?

# Antenne "Tripole"



# Antenne "Tripole"

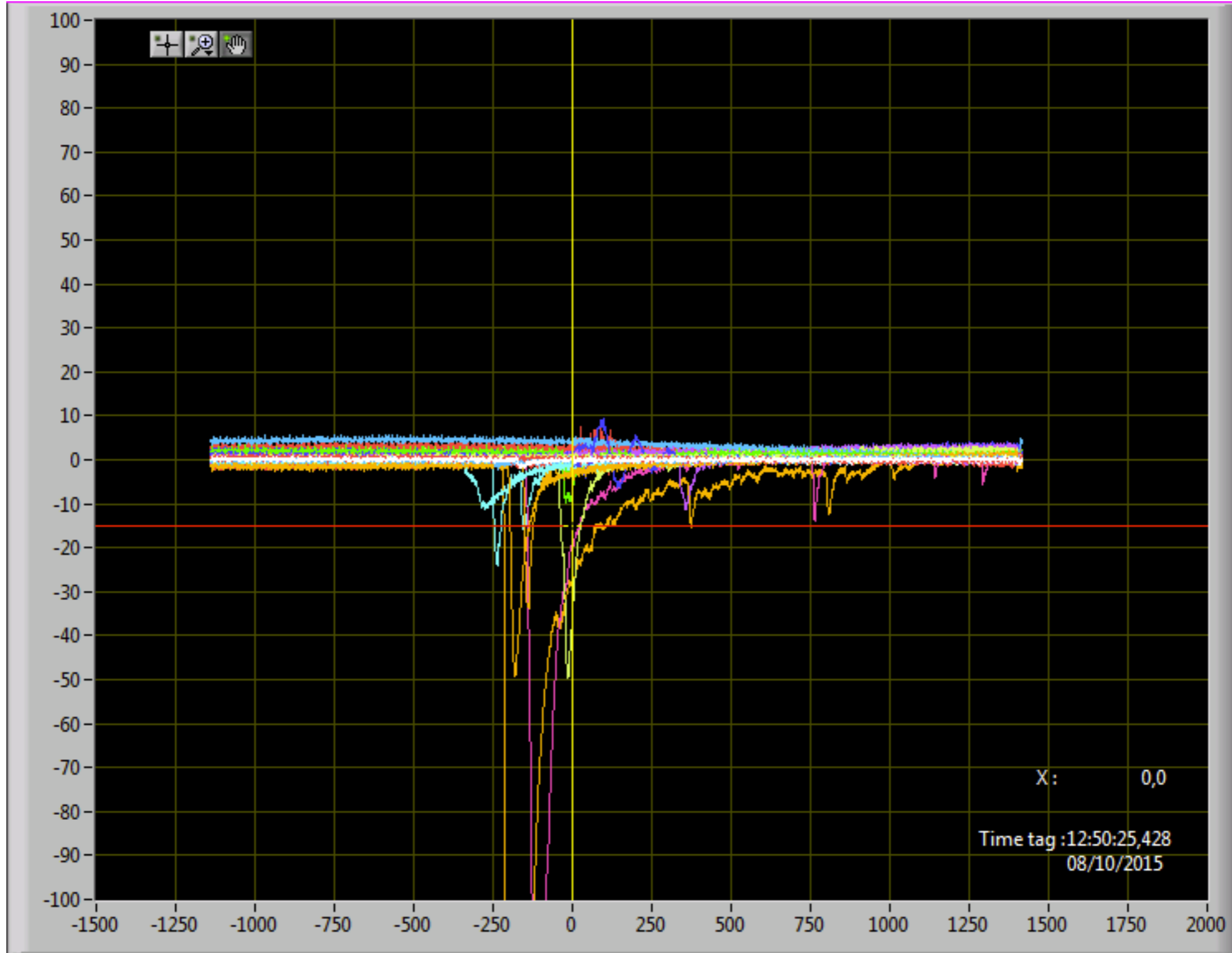


Réplication d'une raie tous les 50 MHz due à la carte Matacq de numérisation (artefact)

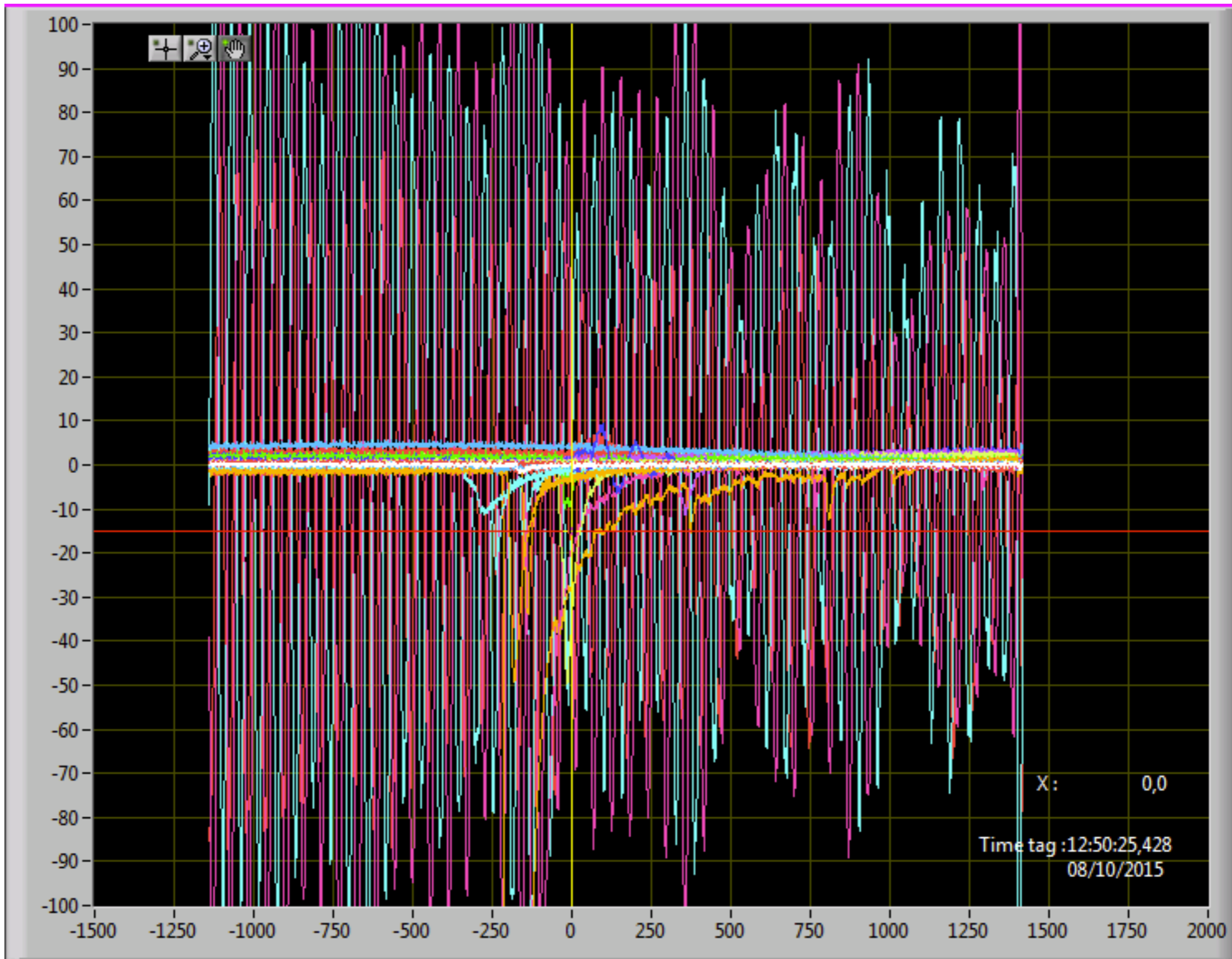




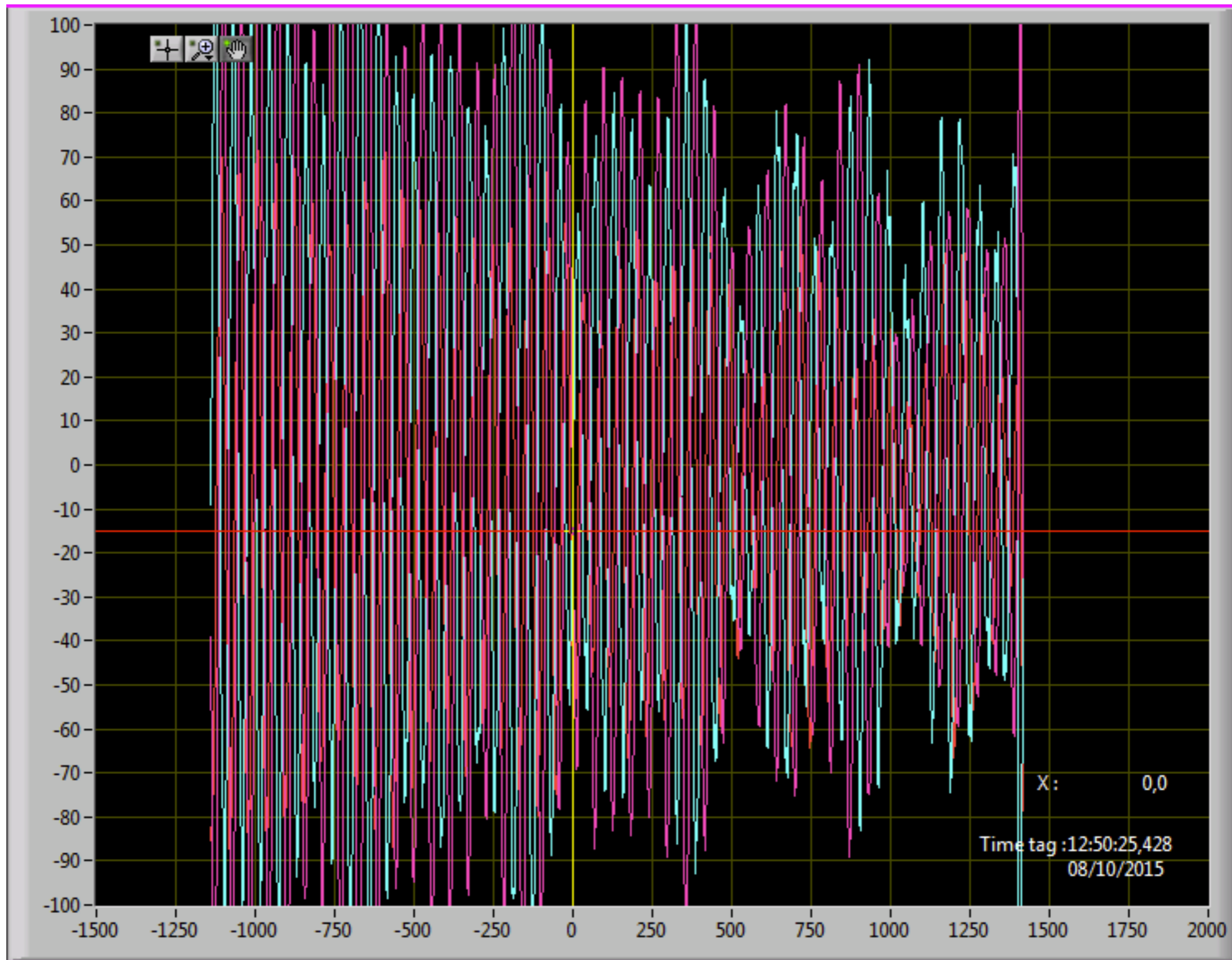
# Antenne "Tripole"



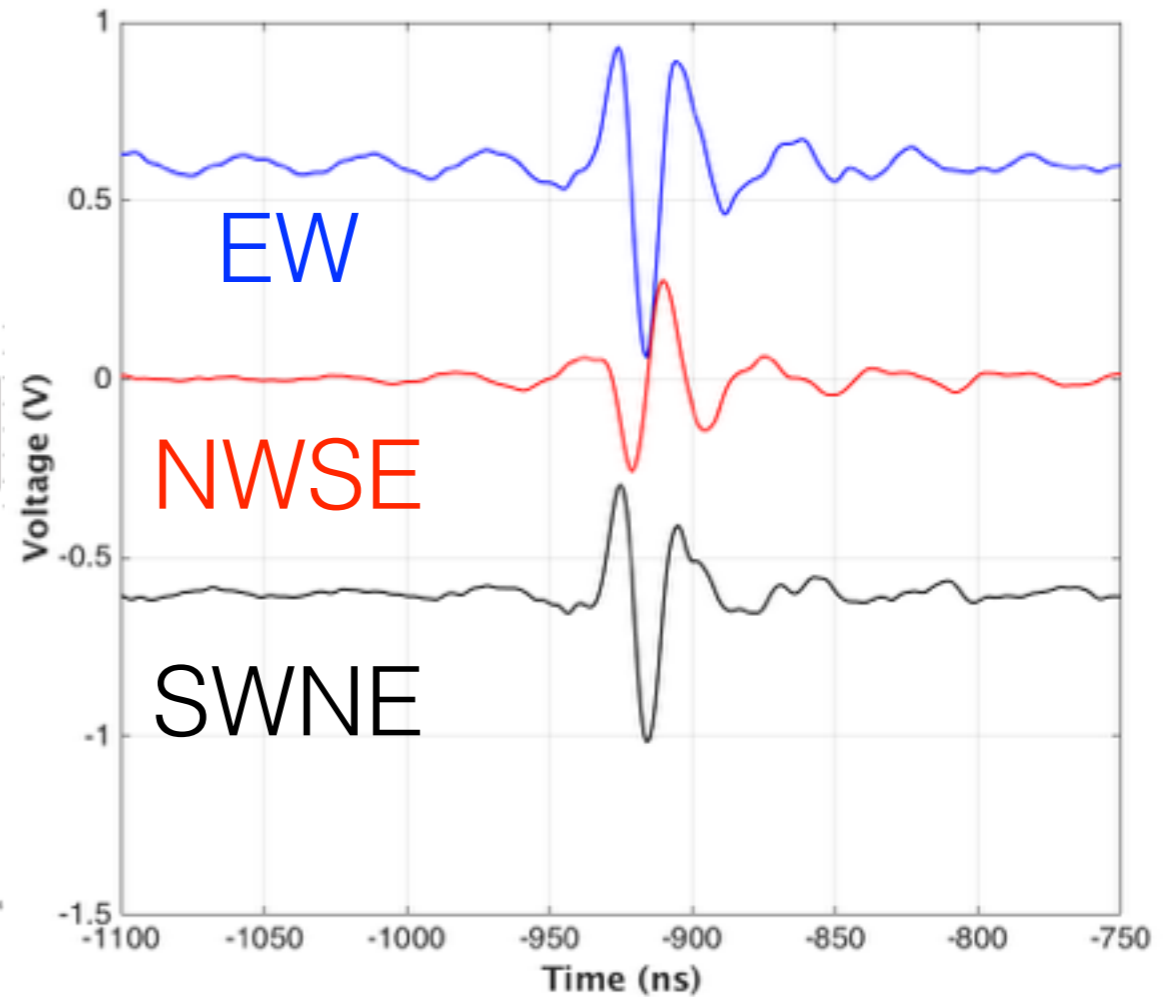
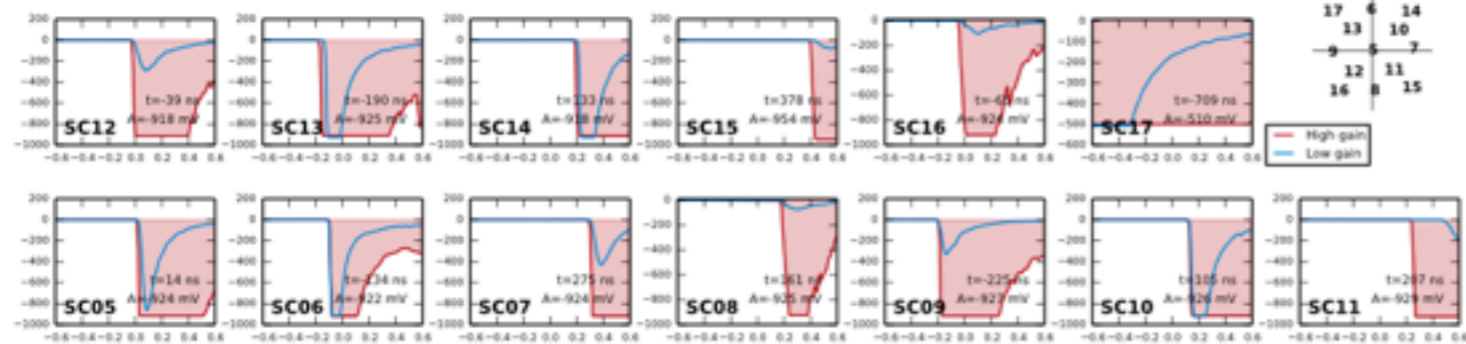
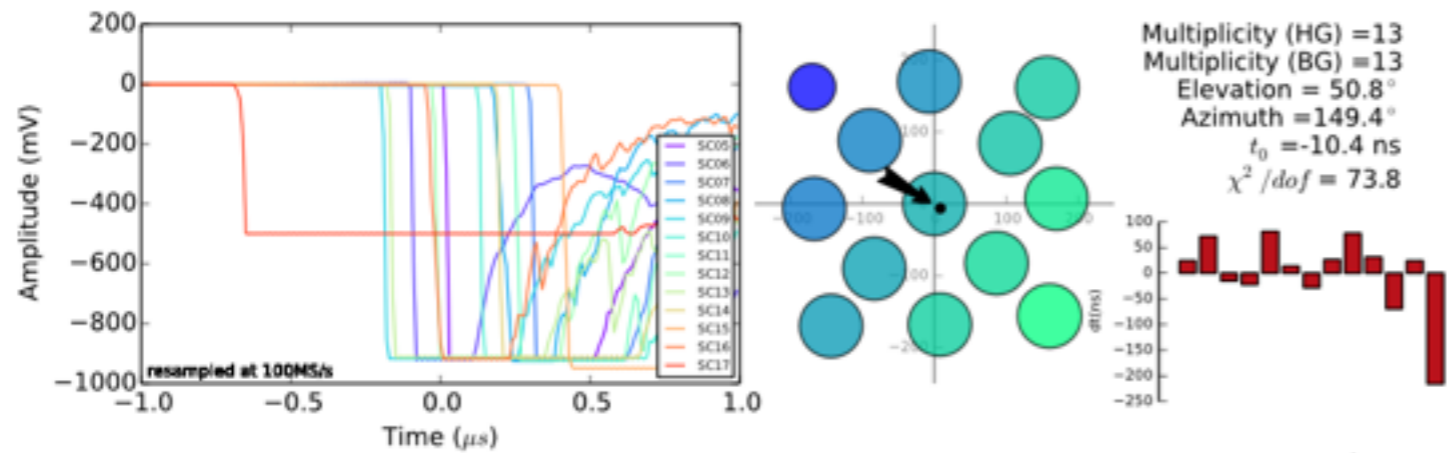
# Antenne "Tripole"



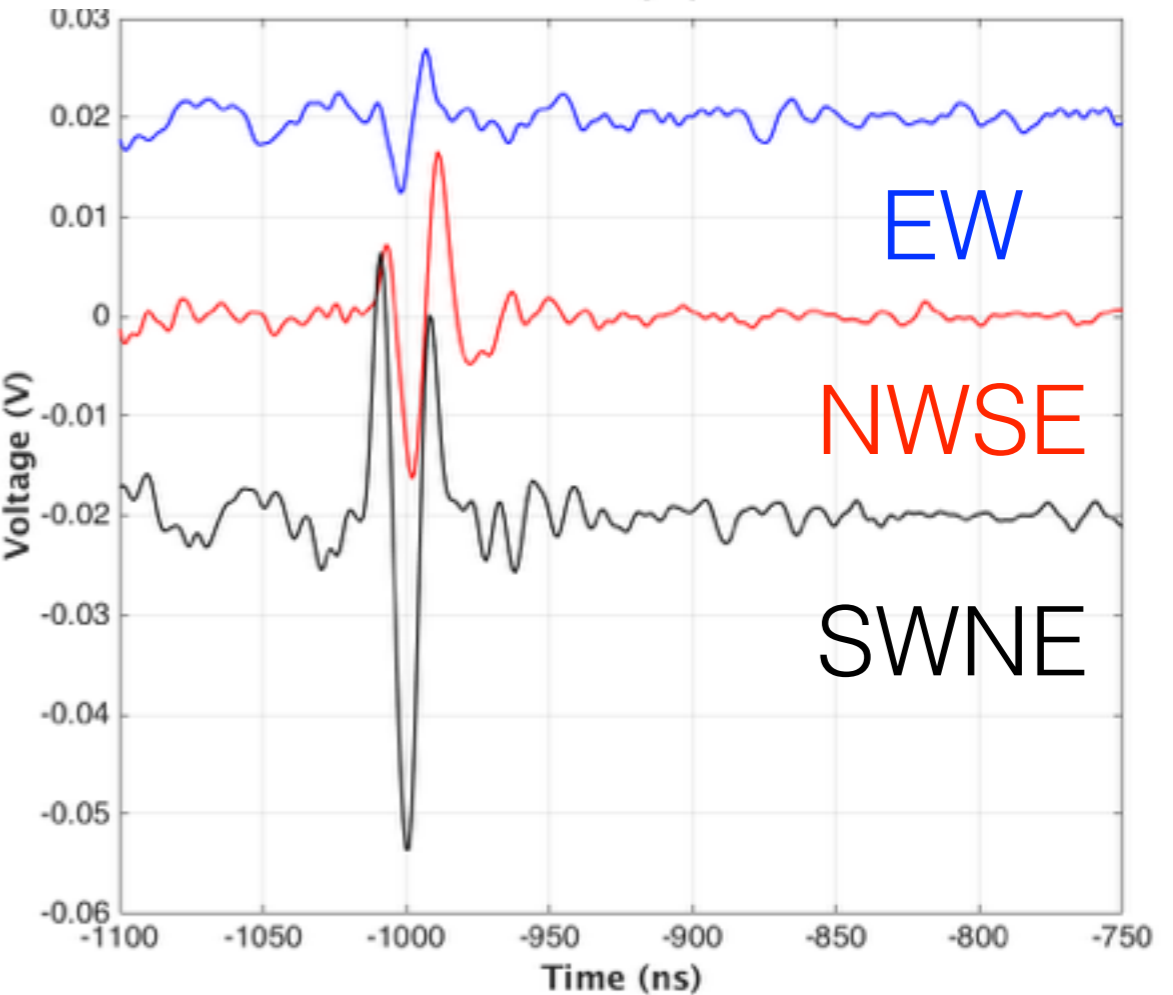
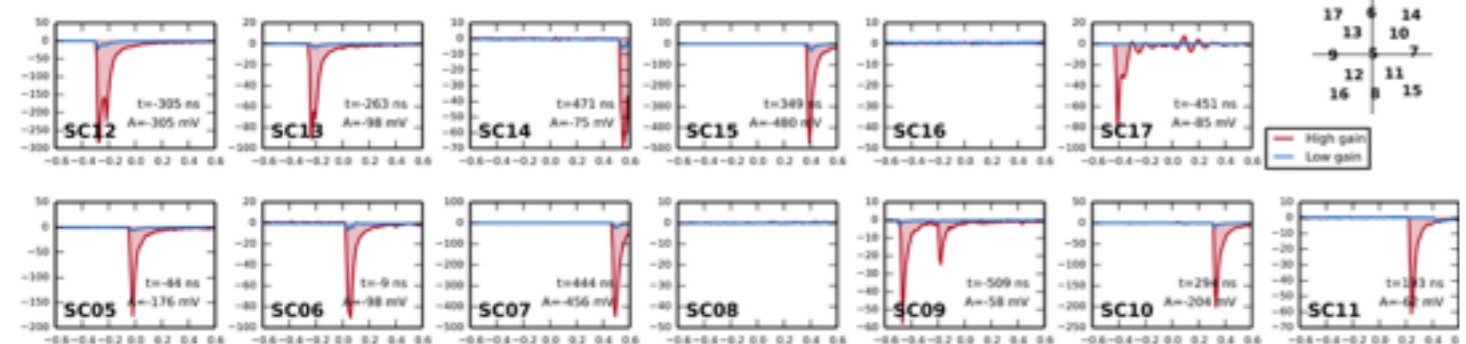
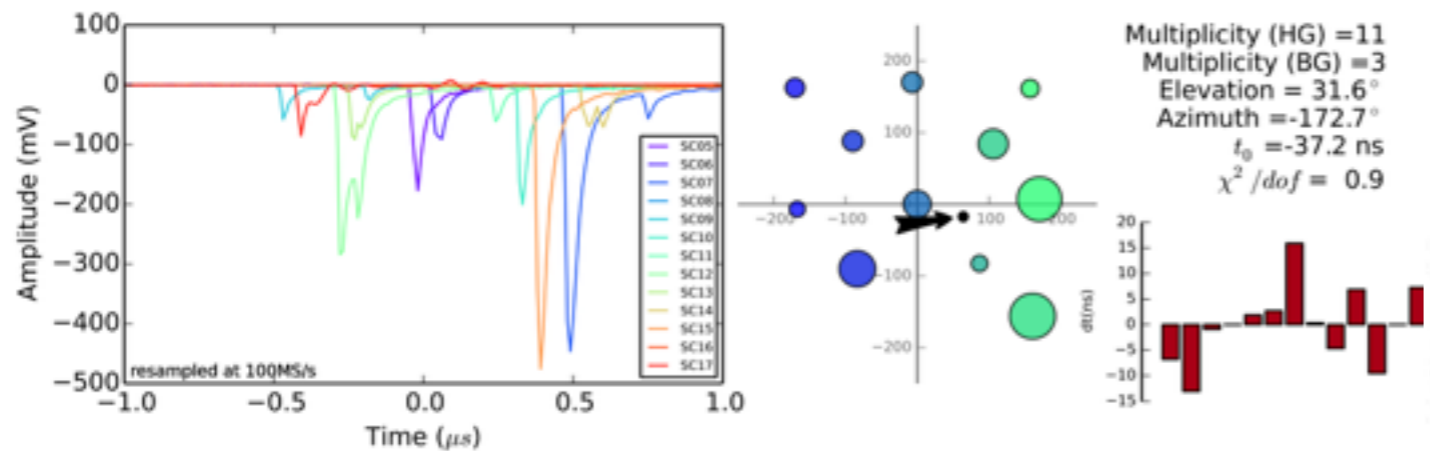
# Antenne "Tripole"



Run : 150316\_15h40 , Event : 002644 , 2015-03-18 14:13:46.413000



Run : 150929\_16h08 , Event : 002746 , 2015-10-02 23:45:03.566000

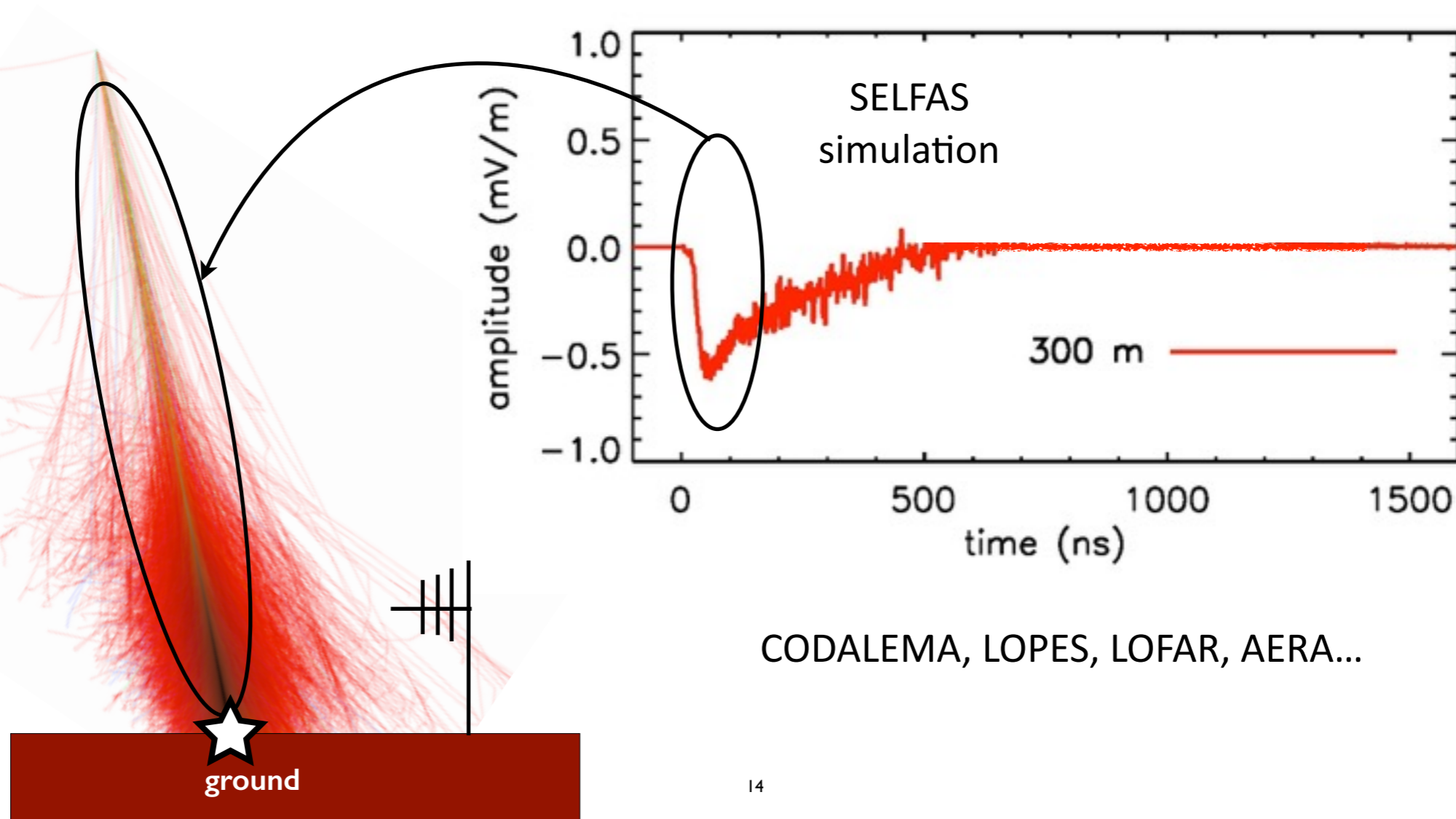


# Antennes “BF”

- Actuellement 2 antennes basses fréquences installées, environ 300 m à l'ouest (BFO) et à l'est (BFE) du scintillateur central SC05
- Installation de 5 autres antennes prévue en 2016
- Etudes et simulations NEC4 montrent que la hauteur optimale (minimale) est de l'ordre de 9 m (aussi dans les limites de l'accessible)
- Acquisitions déclenchées par le trigger scintillateur, soit environ toutes les 2 minutes (de l'ordre de 800 à 900 événements par jour)
- **Objectifs** : détecter (ou pas) le signal de “mort subite” des gerbes, prévu pour être visible  $< 10$  MHz. Ne pas exclure la détection de la contrepartie basse fréquence du signal “normal”, d'origine géomagnétique

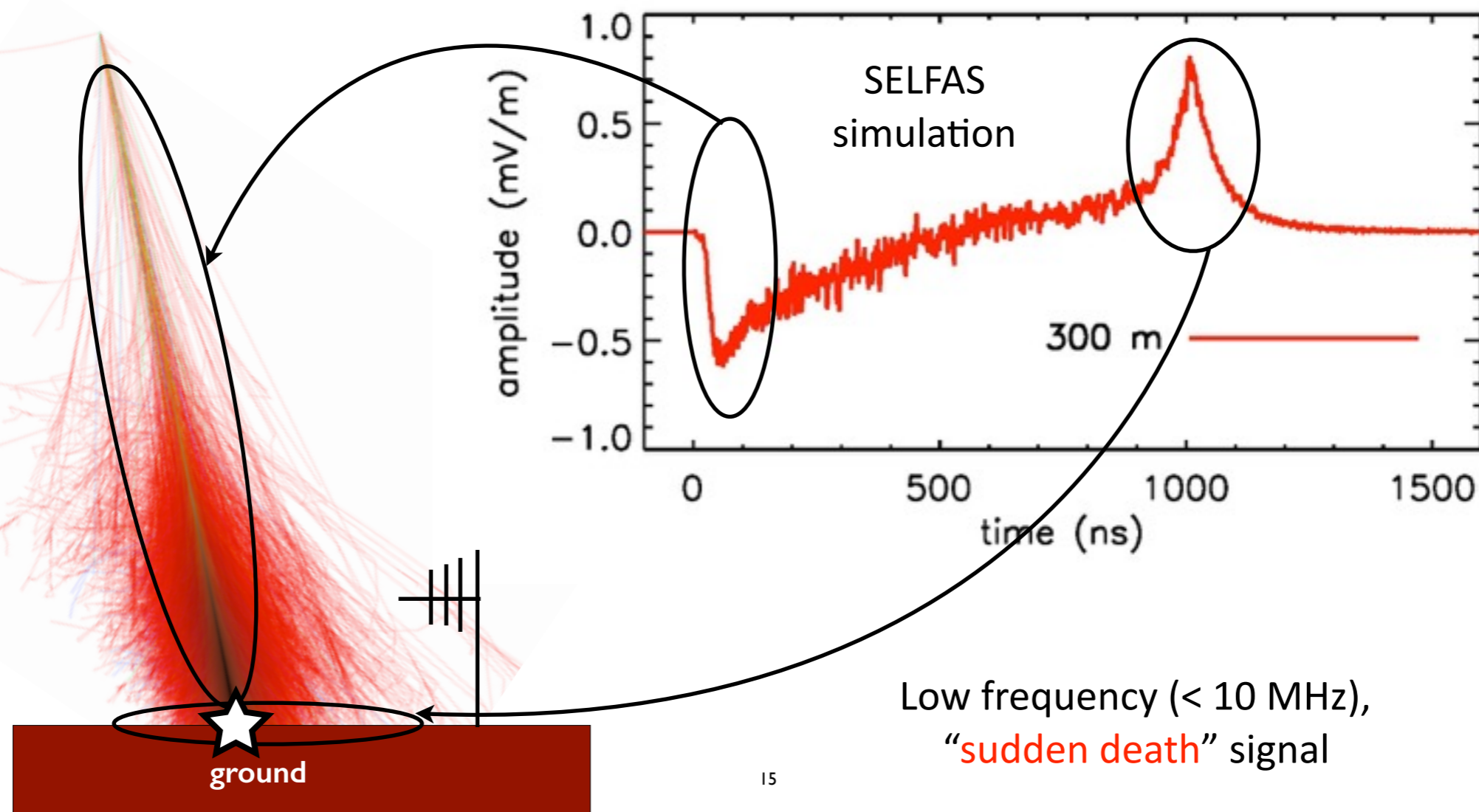
# EXTASIS: the low-frequency components

The “classical” signal (here vertical polarization, full band)

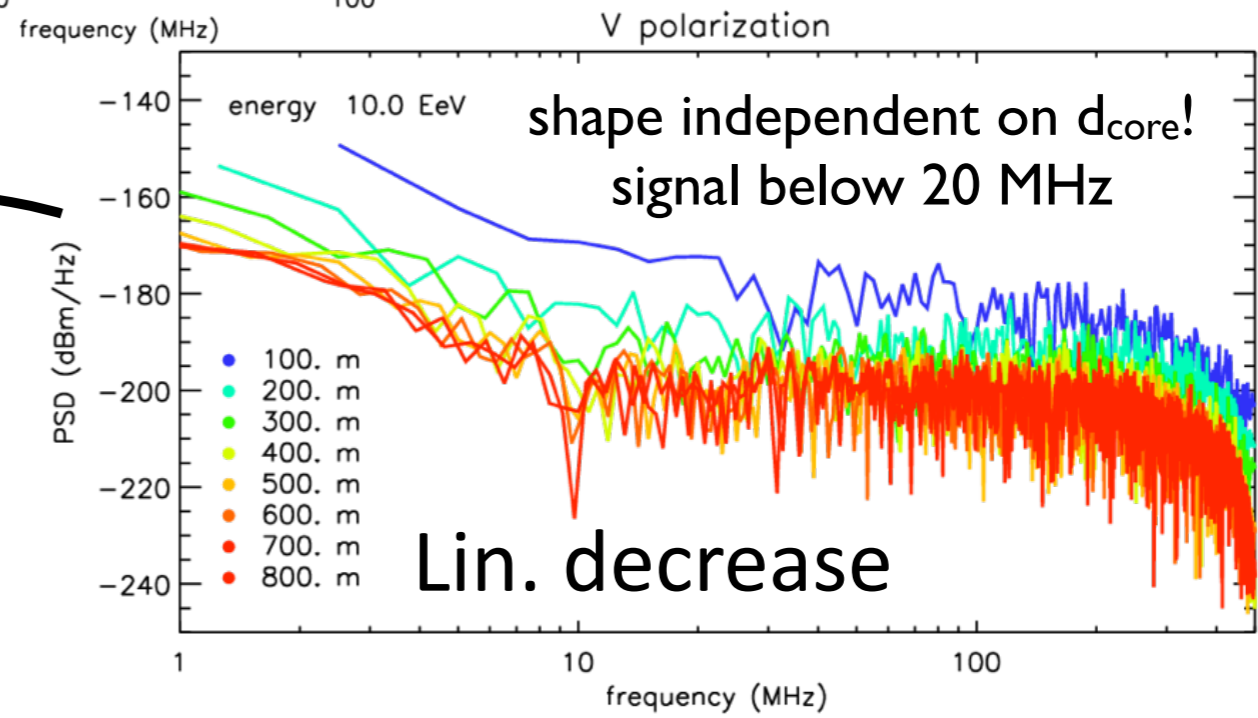
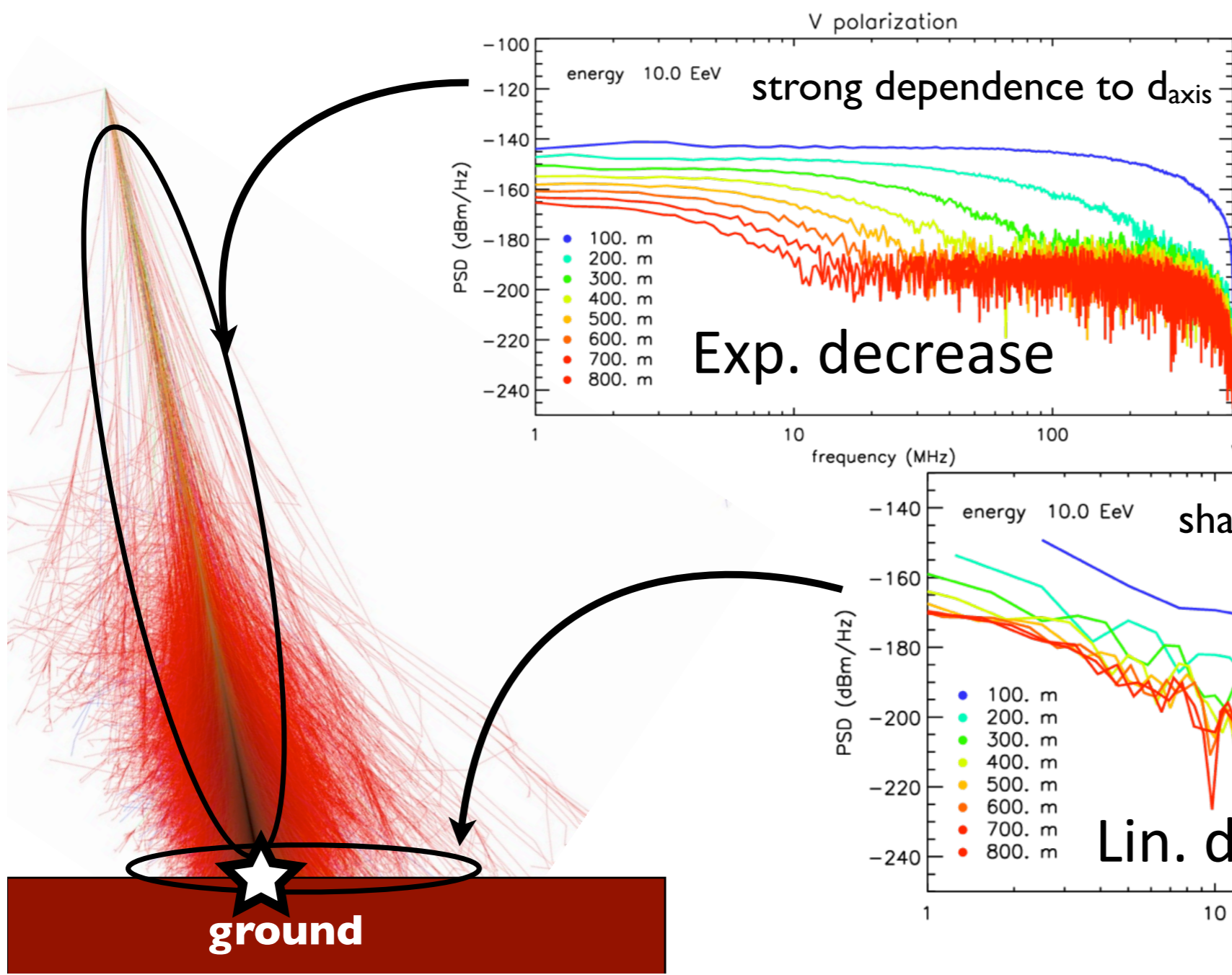


# EXTASIS: the low-frequency components

And the expected “new one” (still vertical polarization, full band)



- Absolute timing
- Shower **core** position
- Larger detection range



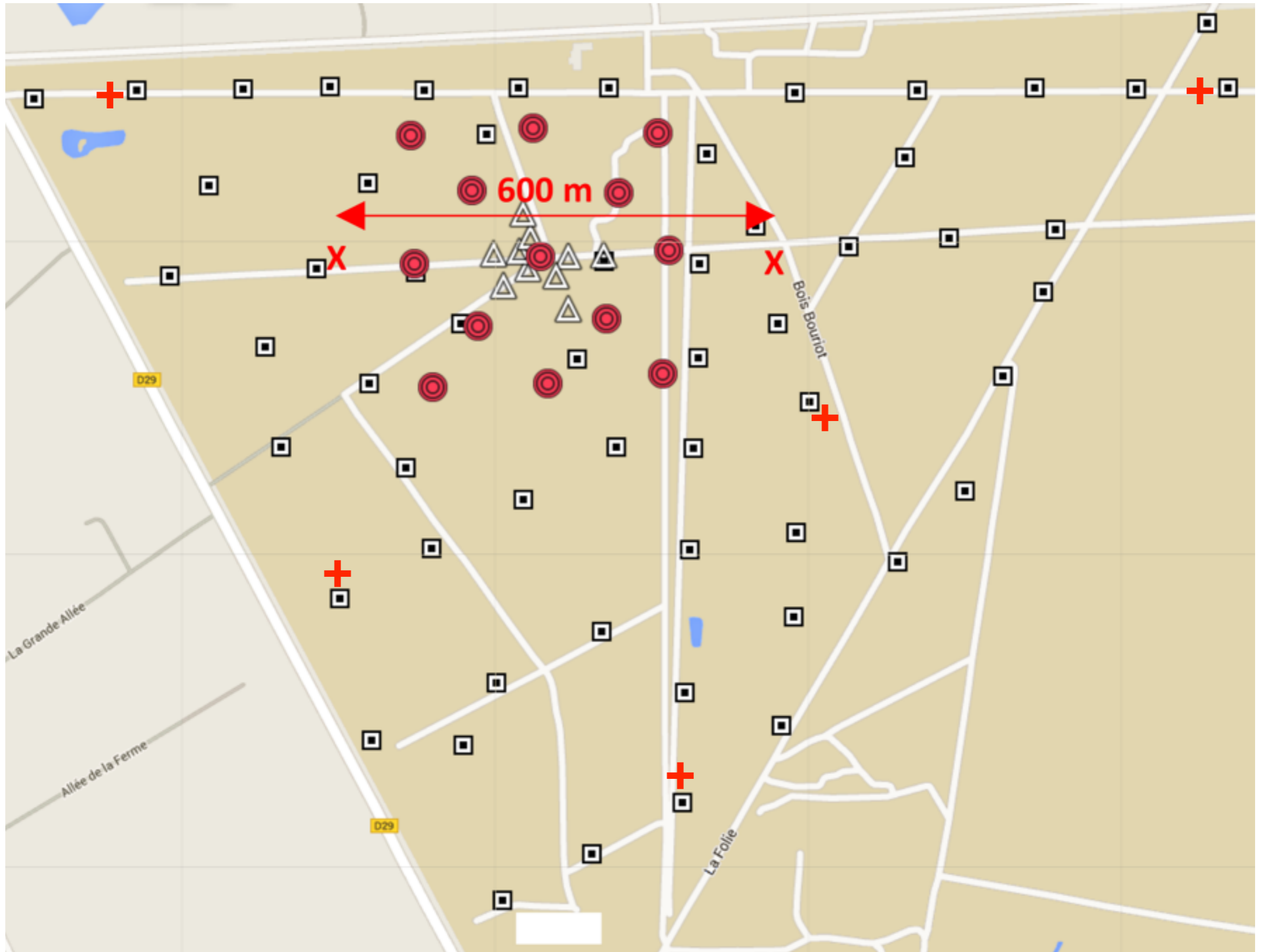


# Antennes “BF”

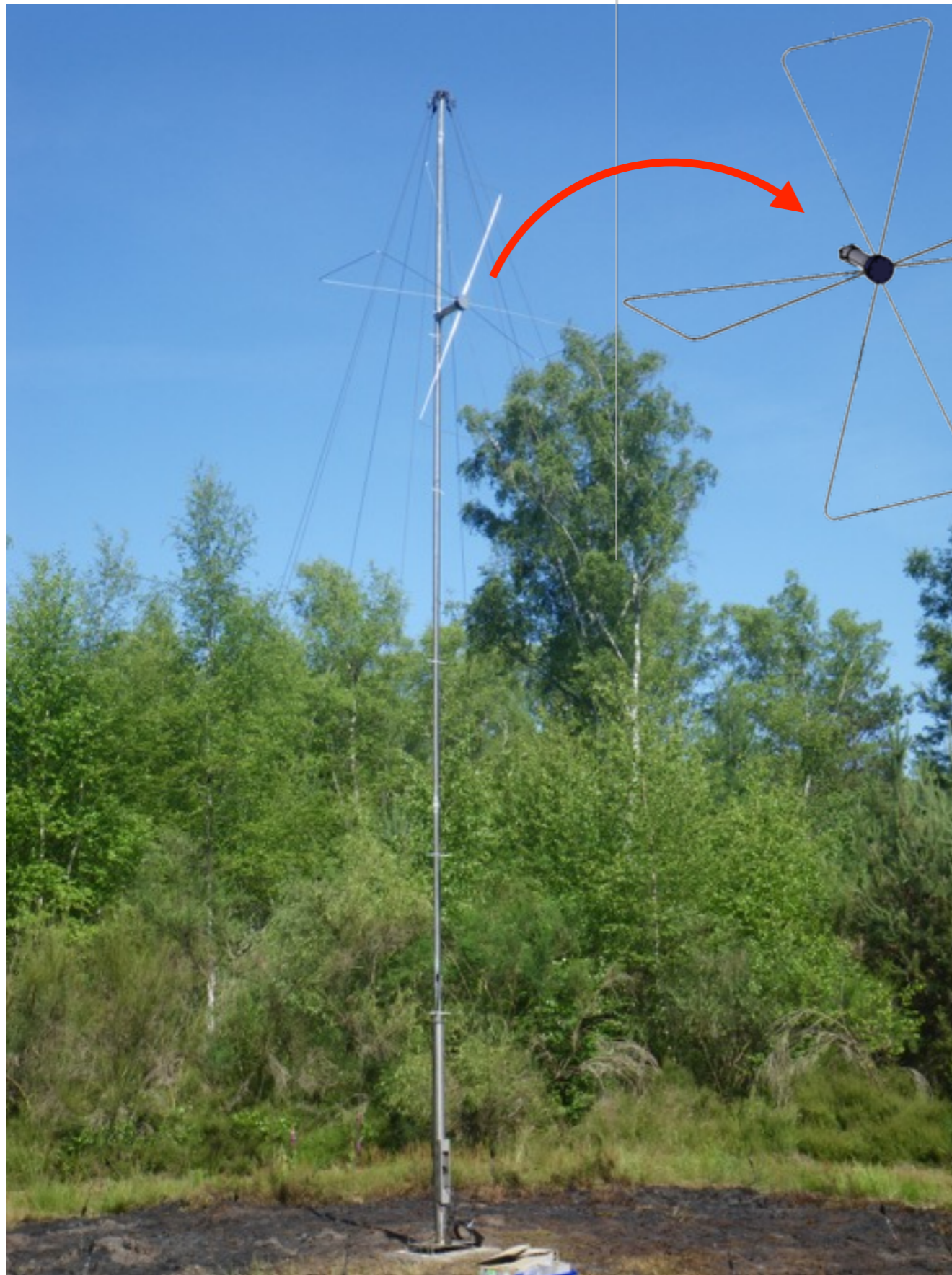
- Actuellement 2 antennes basses fréquences installées, environ 300 m à l’ouest (BFO) et à l’est (BFE) du scintillateur central SC05
- Installation de 5 autres antennes prévue en 2016
- Etudes et simulations NEC4 montrent que la hauteur optimale (minimale) est de l’ordre de 9 m (aussi dans les limites de l’accessible)
- Acquisitions déclenchées par le trigger scintillateur, soit environ toutes les 2 minutes (de l’ordre de 800 à 900 événements par jour)
- **Objectifs** : détecter (ou pas) le signal de “mort subite” des gerbes, prévu pour être visible  $< 10$  MHz. Ne pas exclure la détection de la contrepartie basse fréquence du signal “normal”, d’origine géomagnétique

Comment les mettre à contribution dans LICORNE ?  
Que peuvent-elles apporter ?

# Antennes "BF"



# Antennes “BF”



Butterfly “classique”  
Axes **NS** et **vertical**

Amplis LONAMOS  
modifiés 1-10 MHz

Numérisation 17.86 MS/s sur 1 ms

Dynamique signaux variable  
(acquisition “Picoscope”, calibre  
adapté au bruit toutes les heures)

Acquisition déclenchée par chaque  
trigger “scintillateurs”, soit environ  
toutes les 2 minutes (de l’ordre de  
800 à 900 événements par jour)

# Antennes "BF"

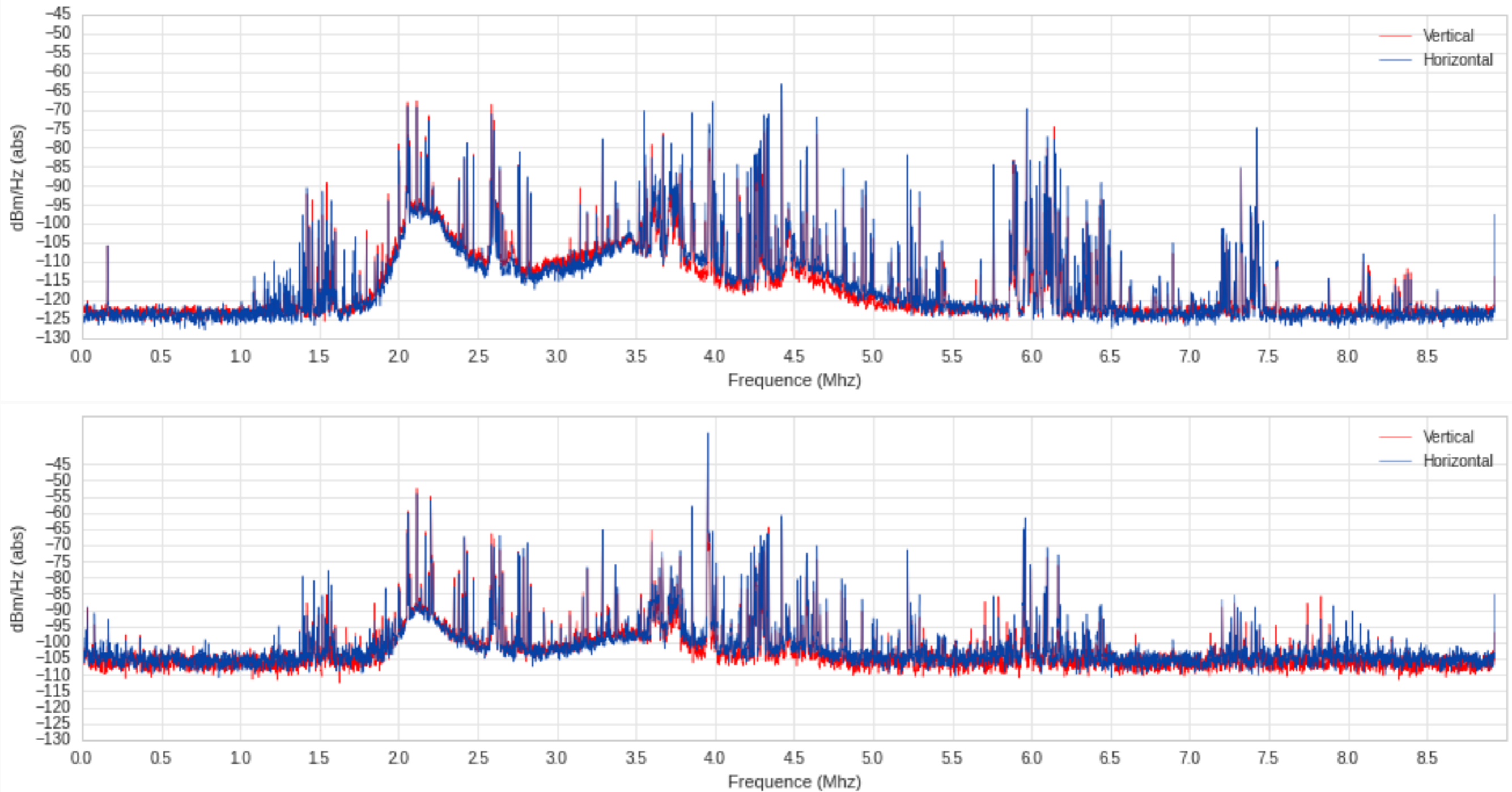


Figure 1: PSD des deux voies de BFE le 18 juin vers 19h (en haut) et 20h (en bas)

# Antennes "BF"

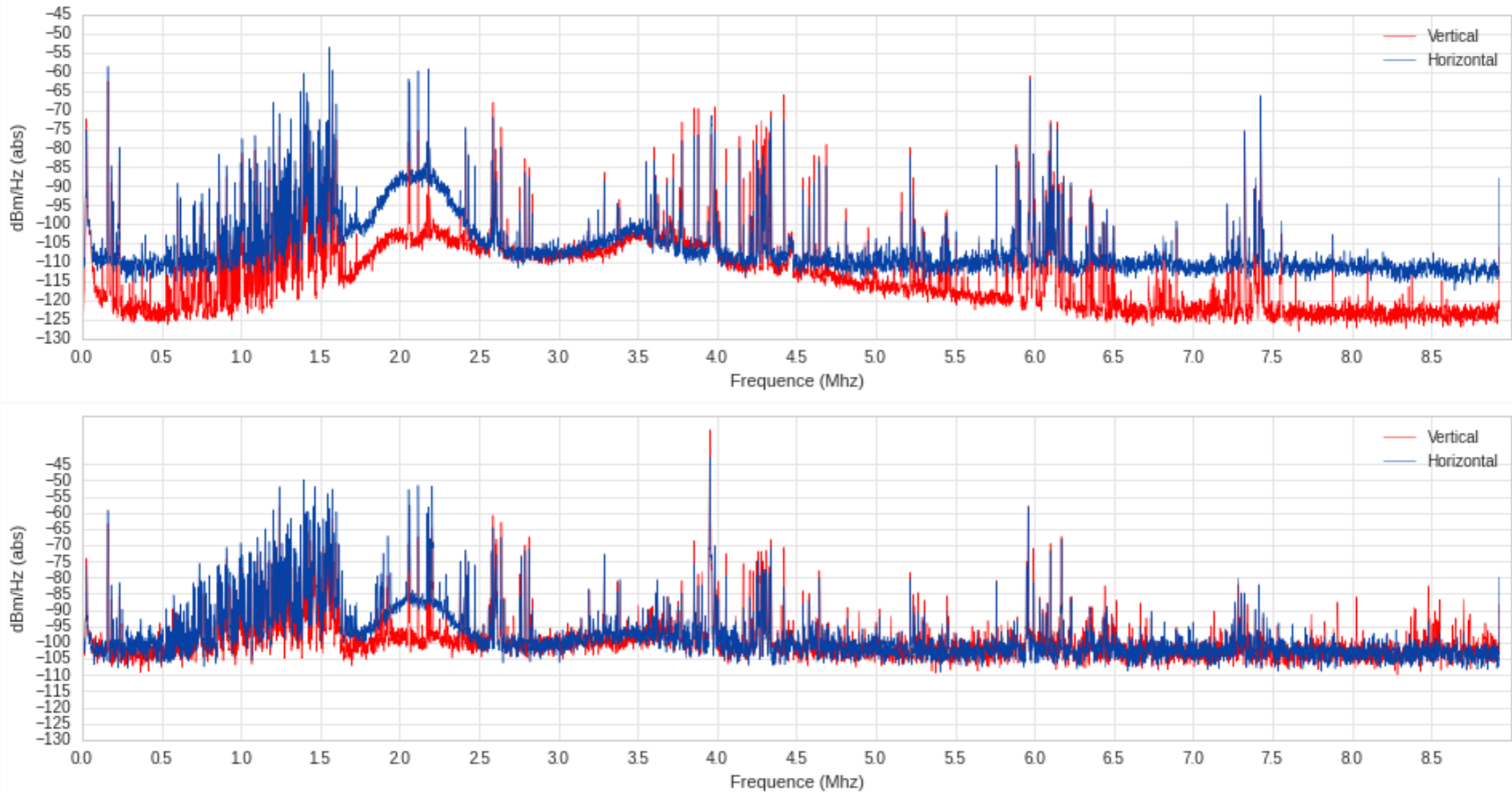


Figure 2: PSD des deux voies de BFO le 19 juin vers 19h (en haut) et 20h (en bas)

# Antennes “BF”

- Données en fichiers CSV, présentes avec chaque fichier d'événement scintillateurs

```
function [t,bfV,bfH]=readBFdata(fileName);
% readBFdata
% Reads the data of any LF antenna (BF in french) recorded on .csv format
% by the PicoTop DAQ. We assume that the vertical polarization is on
% channel A (1) of the PicoScope, the horizontal one on channel B (2).
% t contains the time in microseconds
% bfV and bfH contain the voltage of both A and B channels, directly
% converted in volts regardless the real contents of the .csv file header
% which may state "mv" of "V".
%
% Remark: a typical file begins as
% Time Channel A Channel B
% (us) (mV) (mV)
% -500.08000107 8.26771600 -0.39370070
% -500.02400108 5.90551100 0.00000000
% ...
% and the values are comma-separated.

calV=1;calH=1;
fid=fopen(fileName);
header=textscan(fid,'%s %s %s',2,'delimiter',' ');
unitA=cell2mat(header{2}(2));
unitB=cell2mat(header{3}(2));
if unitA(2)=='m', calV=1e-3; end;
if unitB(2)=='m', calH=1e-3; end;
data=textscan(fid,'%f %f %f','delimiter',' ','TreatAsEmpty',{'Infinity','-Infinity'});
t=data{1};
bfV=calV*data{2};
bfH=calH*data{3};
fclose(fid);
```

# Antennes “BF”

## Influence of Atmospheric Electric Fields on the Radio Emission from Extensive Air Showers.

T. N. G. Trinh,<sup>1,\*</sup> O. Scholten,<sup>1,2</sup> S. Buitink,<sup>3,4</sup> A. M. van den Berg,<sup>1</sup> A. Corstanje,<sup>4</sup> U. Ebert,<sup>5,6</sup>  
J. E. Enriquez,<sup>4</sup> H. Falcke,<sup>4,7,8,9</sup> J. R. Hörandel,<sup>4,7</sup> C. Köhn,<sup>5</sup> A. Nelles,<sup>4,10</sup> J. P. Rachen,<sup>4</sup>  
L. Rossetto,<sup>4</sup> C. Rutjes,<sup>5</sup> P. Schellart,<sup>4</sup> S. Thoudam,<sup>4</sup> K.D. de Vries,<sup>2</sup> and S. ter Veen<sup>4</sup>

Atmospheric electric fields of magnitudes as observed under conditions where lightning may occur have been shown to significantly modify the intensity and polarization patterns of the radio footprint of cosmic-ray-induced extensive air showers. Simulations indicated a very non-linear dependence of the signal strength in the frequency window of 30-80 MHz on the magnitude of the atmospheric electric field. In this work we present an explanation of this dependence based on Monte-Carlo simulations, supported by simple arguments. We show that by extending the frequency window to lower frequencies additional sensitivity to the atmospheric electric field is obtained.

Keywords: cosmic rays; thunderstorms; lightning; atmospheric electric fields; radio emission; extensive air showers

# Antennes “BF”

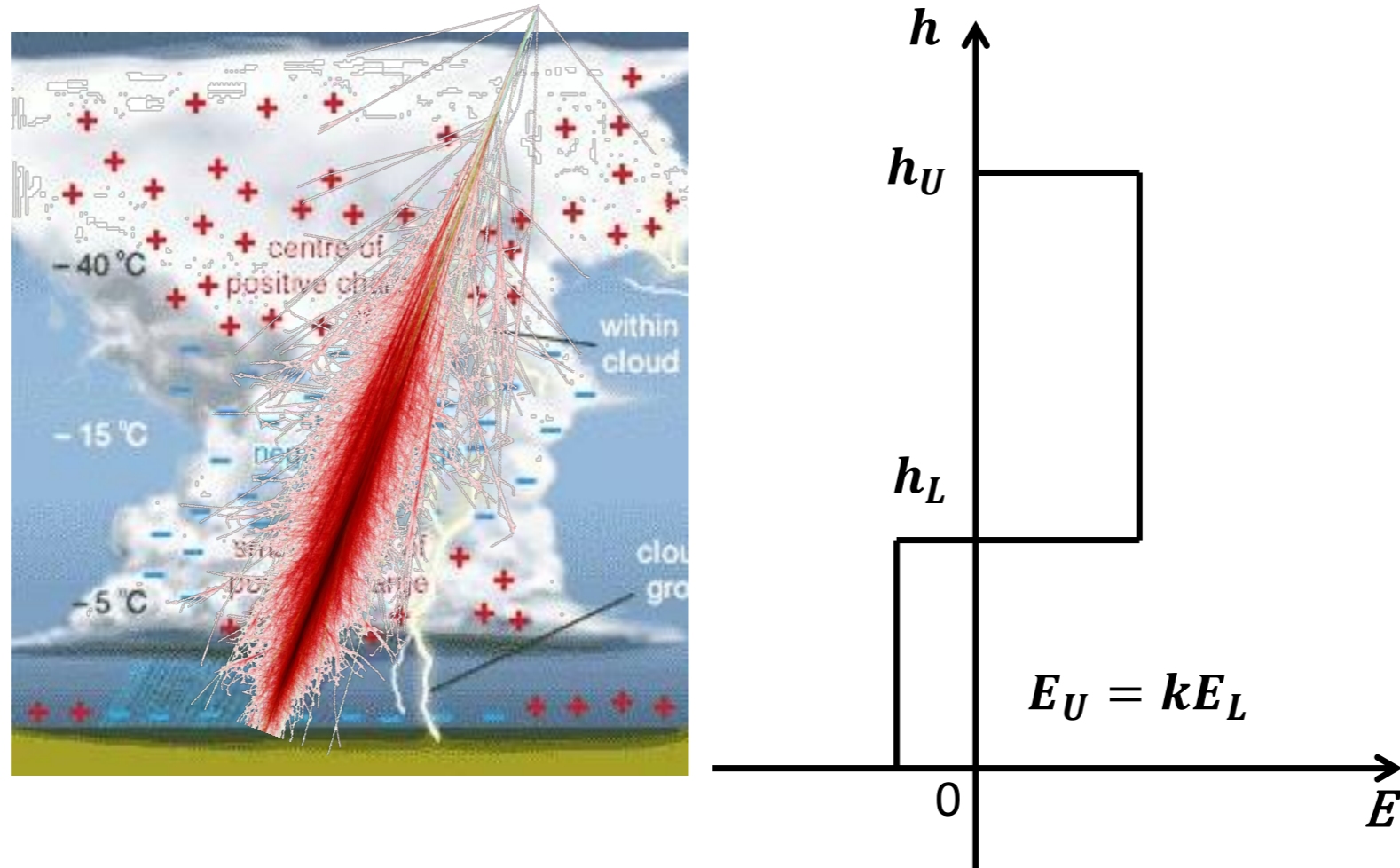


FIG. 1: A schematic structure of a thundercloud is given where charge is accumulated at the bottom and the top layer. The structure of the induced electric field is given schematically on the right hand side.



## A. Parallel electric field

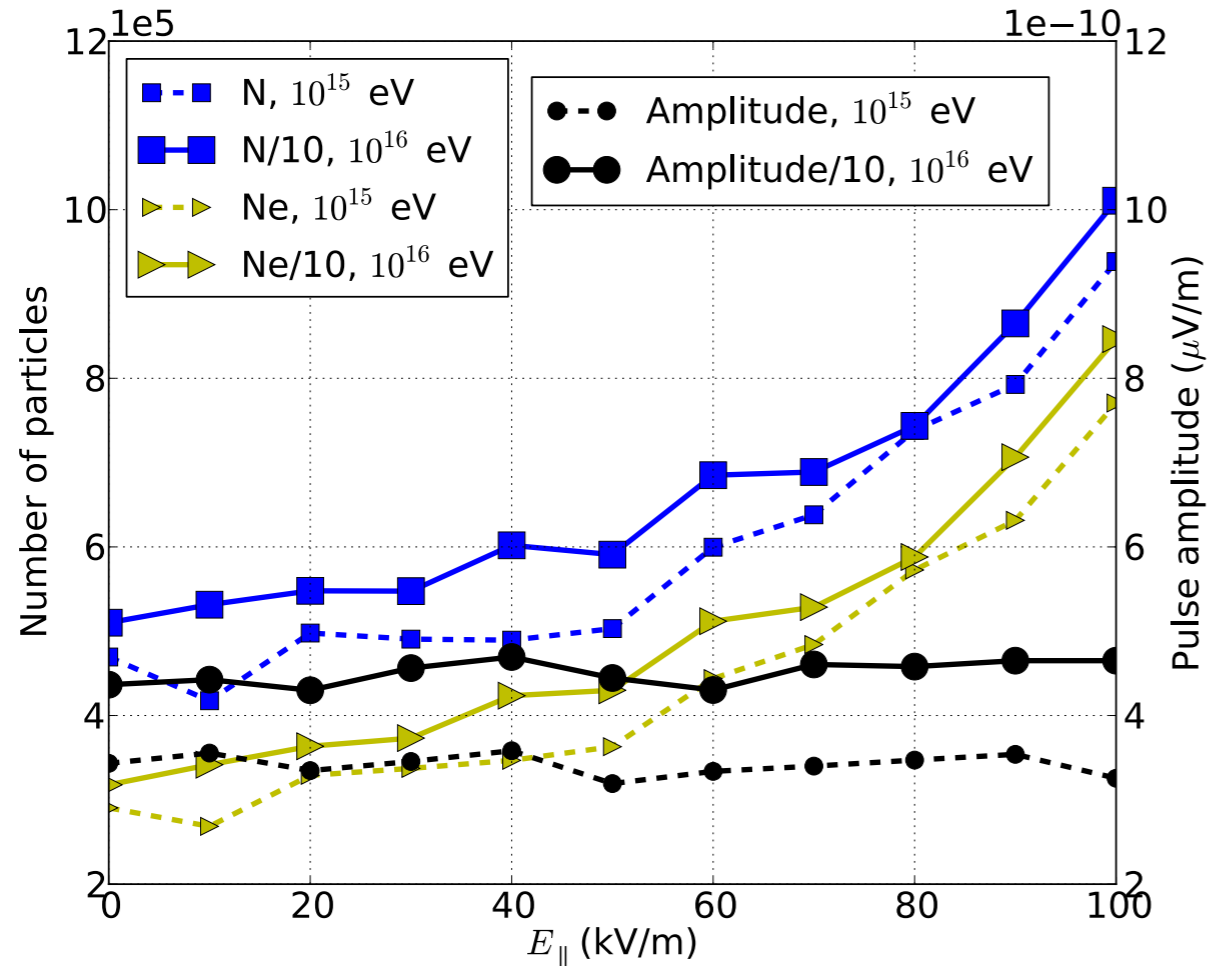


FIG. 2: The number of leptons at the shower maximum (blue left axis), the number of electrons at the shower maximum (yellow left axis) and the maximum pulse-amplitude (black right axis) for vertical  $10^{15}$  eV showers (dashed lines) and for vertical  $10^{16}$  eV showers (right solid lines) as a function of the parallel electric fields. For the  $10^{16}$  eV showers the number of particles and the pulse-amplitude are scaled down by a factor 10.

30-80 MHz

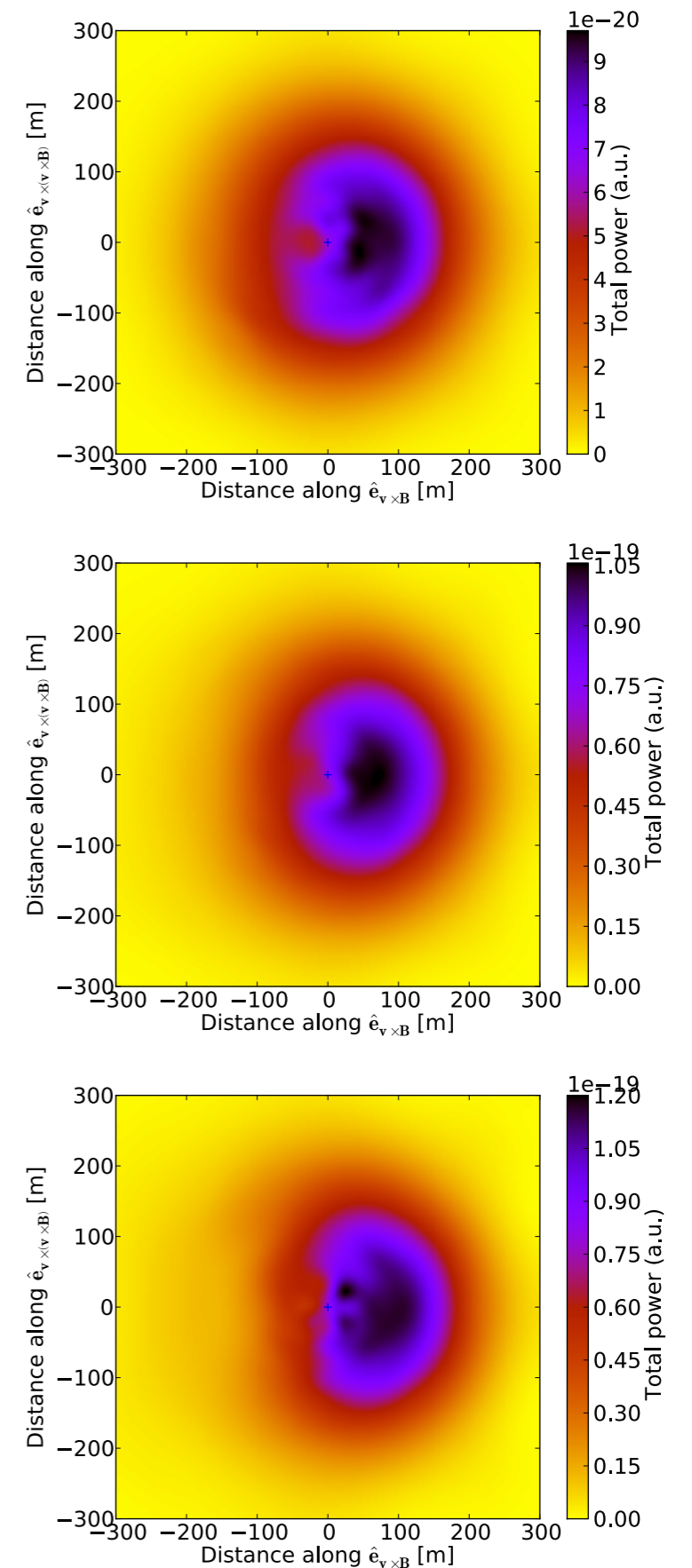


FIG. 3: Intensity footprints of  $10^{15}$  eV vertical showers for the 30 - 80 MHz band for the case of no electric field (top),  $E_{\parallel} = 50$  kV/m (middle), and  $E_{\parallel} = 100$  kV/m (bottom).

As explained in Section III C the observed limited dependence is due to the fact that the additional low-energy electrons in the shower trail behind the shower front at a relatively large distance and thus do not contribute to coherent emission at the observed frequencies. The trailing behind the shower front of the low-energy electrons was also shown in Ref. [28], but for the breakdown region.

Not only the strength of the signal, but also the structure of the radio footprints for the LOFAR LBA frequency range, as shown in Fig. 3, does not really depend on the strength of the parallel electric field. Furthermore, the bean shape, typically observed in air showers in fair-weather condition, is also present in these footprints because the parallel electric fields have small effects on both the transverse-current and the charge-excess components.

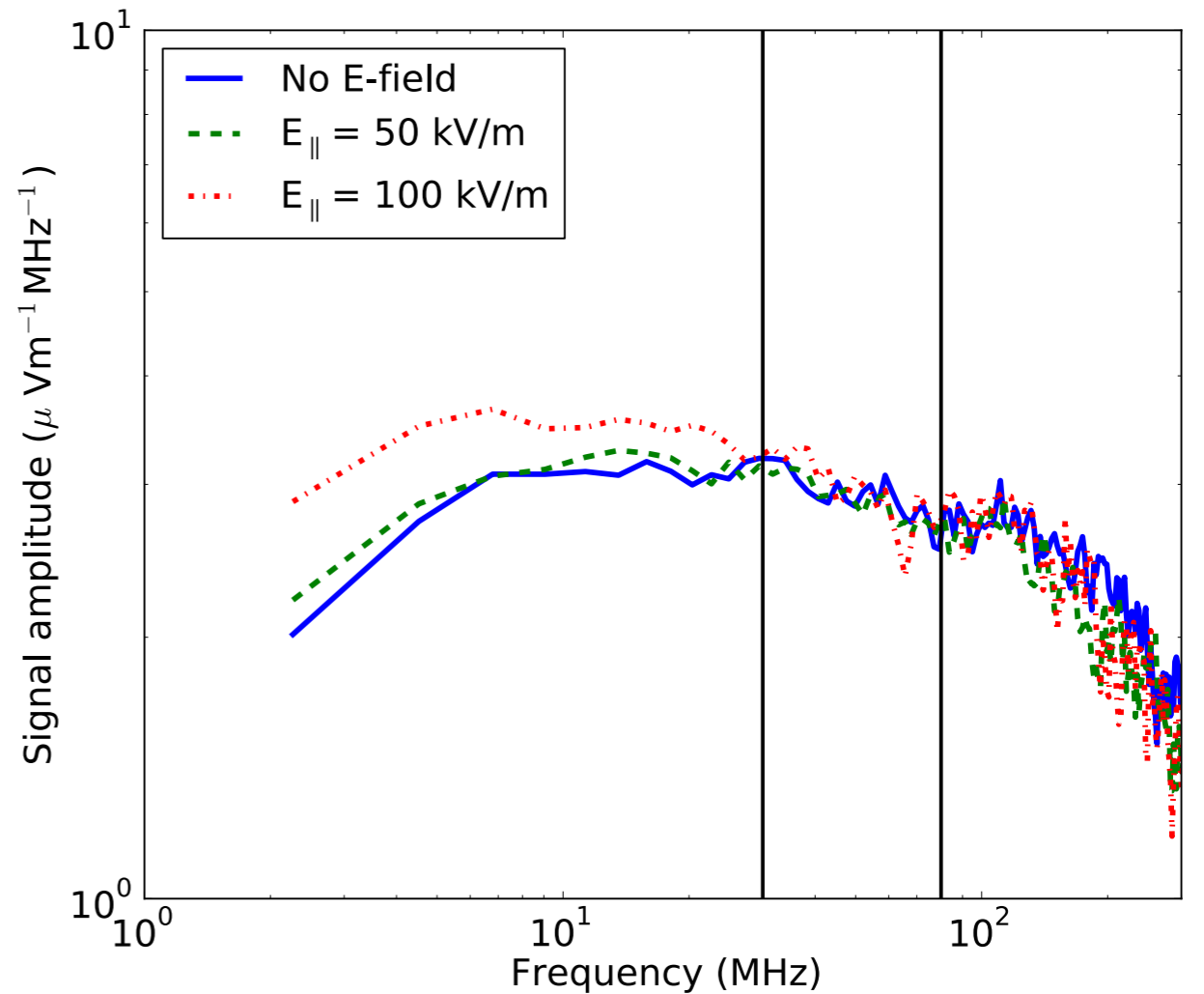


FIG. 12: The square-root of the power in the pulse, as obtained from CoREAS simulations, as function of frequency for a vertical shower of  $10^{15}$  eV at 50 m from the core in the absence and in the presence of parallel electric fields. The black vertical lines represents the LOFAR LBA frequency window.

## D. Influence of $\mathbf{E}_\perp$

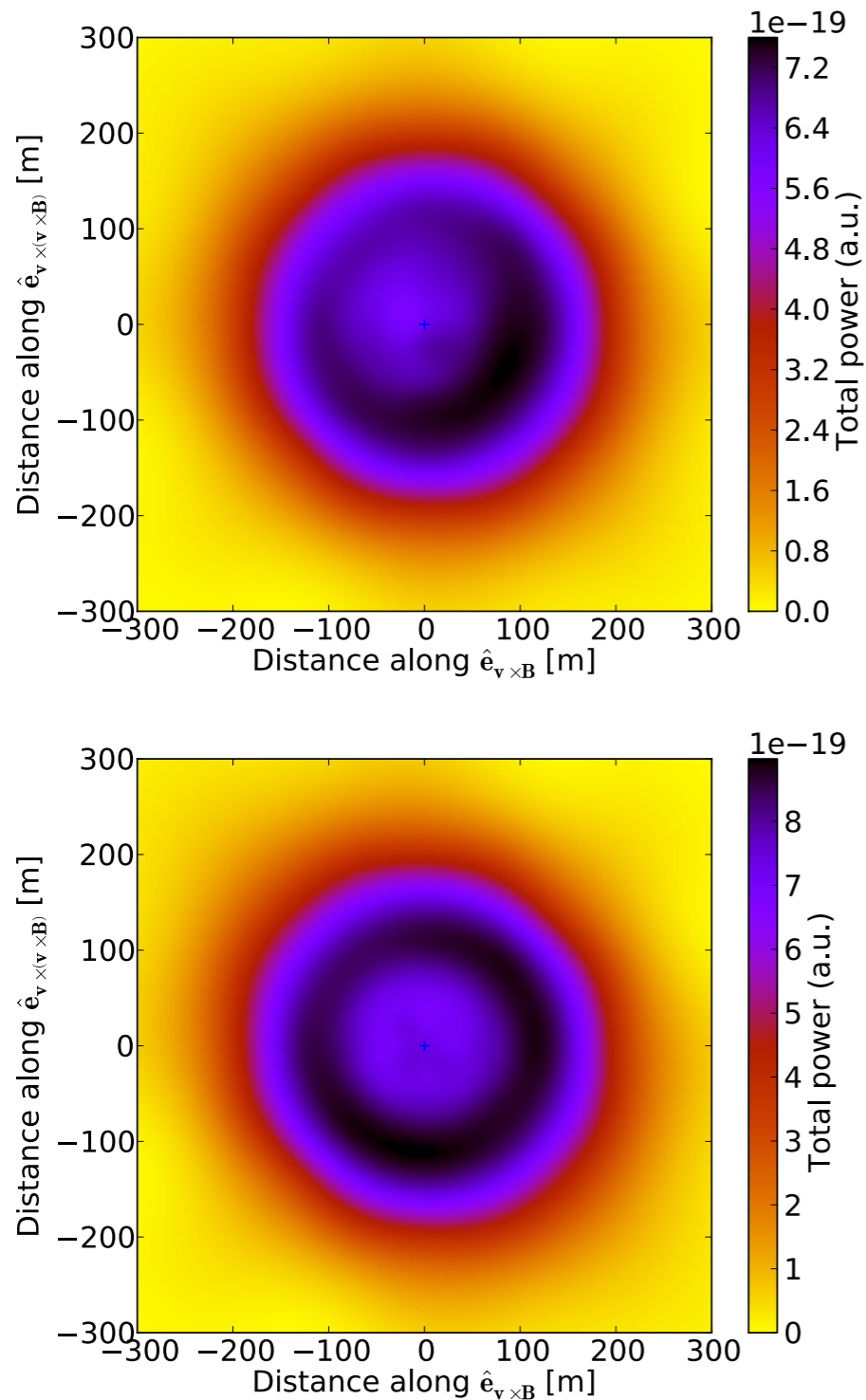


FIG. 5: Intensity footprints of  $10^{15}$  eV vertical showers for the 30 - 80 MHz band for the case of  $F_\perp = 50$  keV/m (top) and  $F_\perp = 100$  keV/m (bottom).

As has been concluded in the previous two sections, the pulse-amplitude as can be measured in the LOFAR frequency window of 30-80 MHz is strongly determined by the strength of the transverse electric field up to values of about 40 kV/m. In addition, parallel electric fields have small effects on the pulse-amplitude in the frequency window 30-80 MHz. It was shown that at lower frequencies, the pulse amplitude keeps growing with increasing field strength up to at least 100 keV/m. In this section we in-

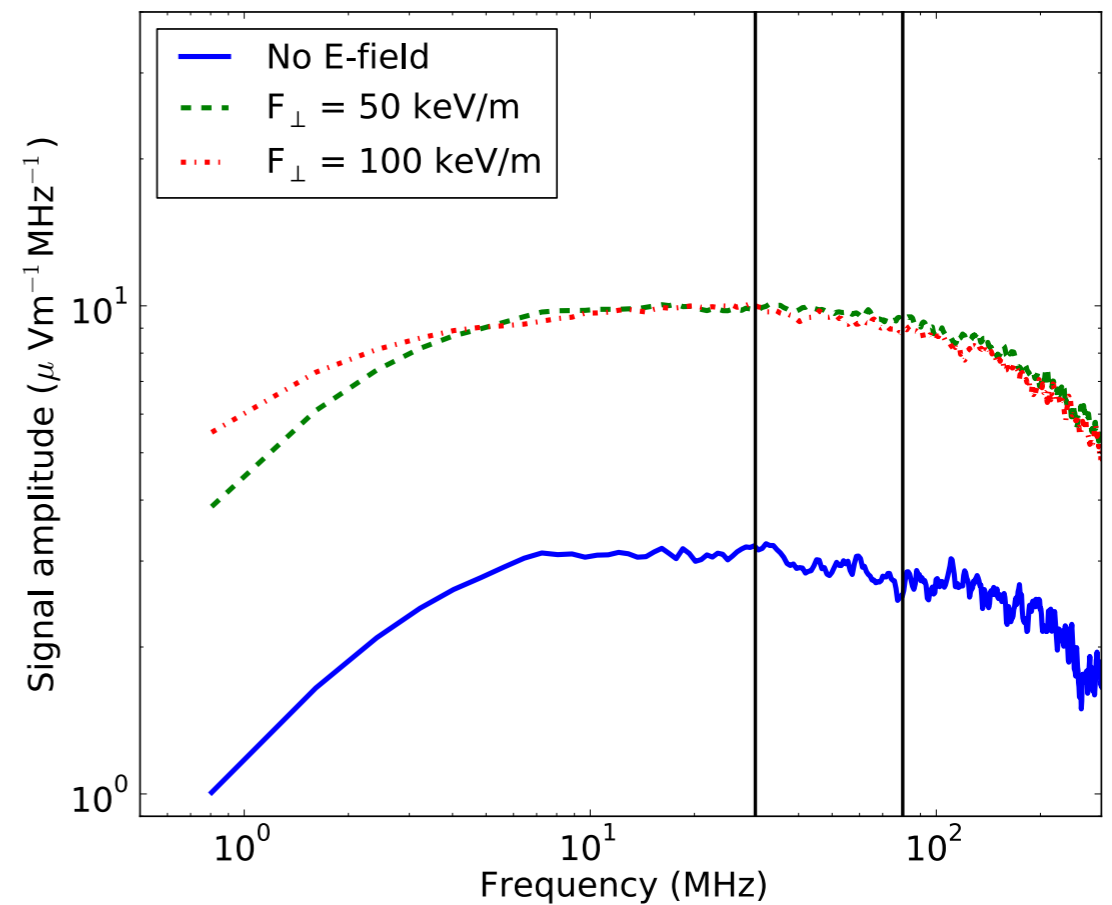


FIG. 17: The same as displayed in Fig. 12 for different strength of the net-transverse force.

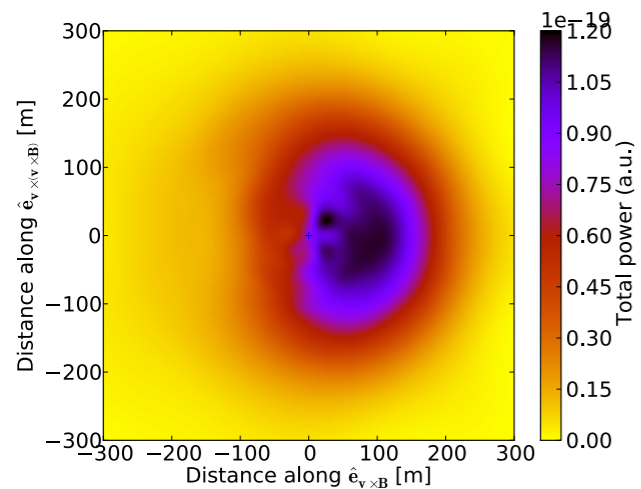
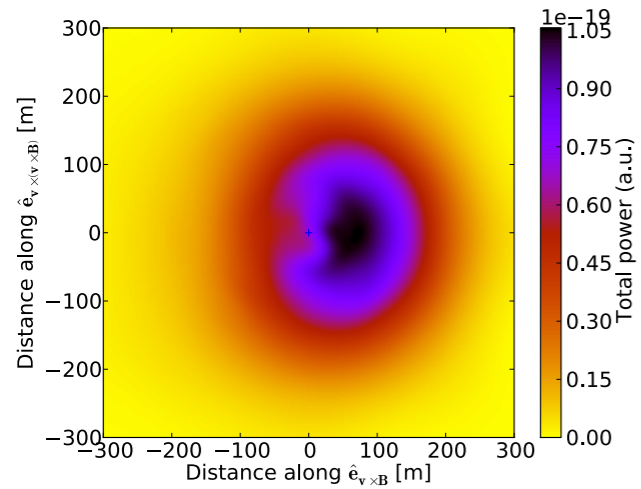
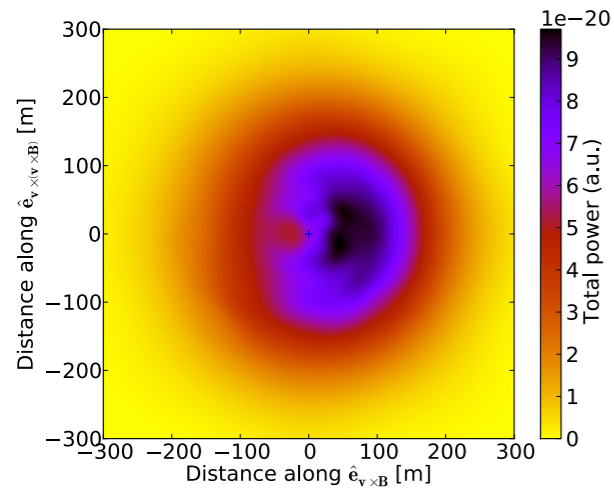


FIG. 3: Intensity footprints of  $10^{15}$  eV vertical showers for the 30 - 80 MHz band for the case of no electric field (top),  $E_{\parallel} = 50$  kV/m (middle), and  $E_{\parallel} = 100$  kV/m (bottom).

30-80 MHz

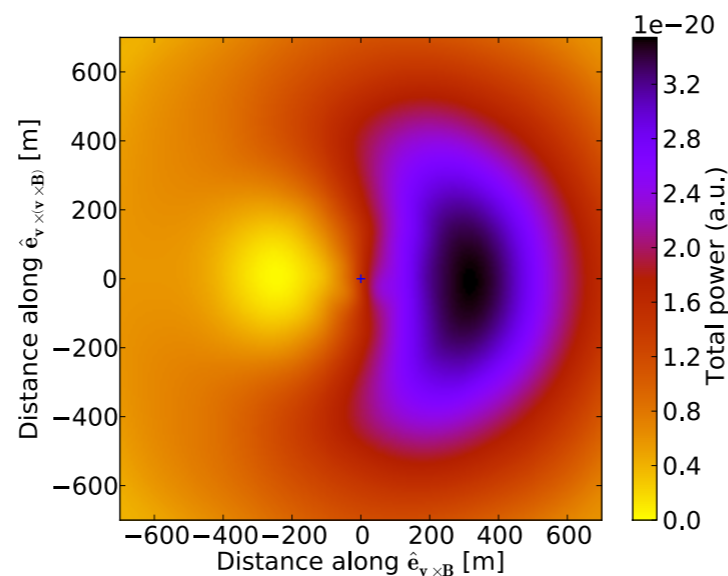
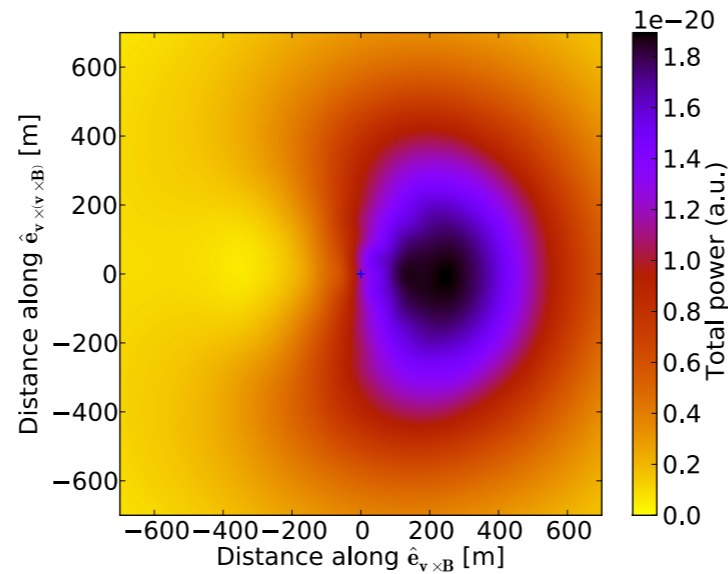
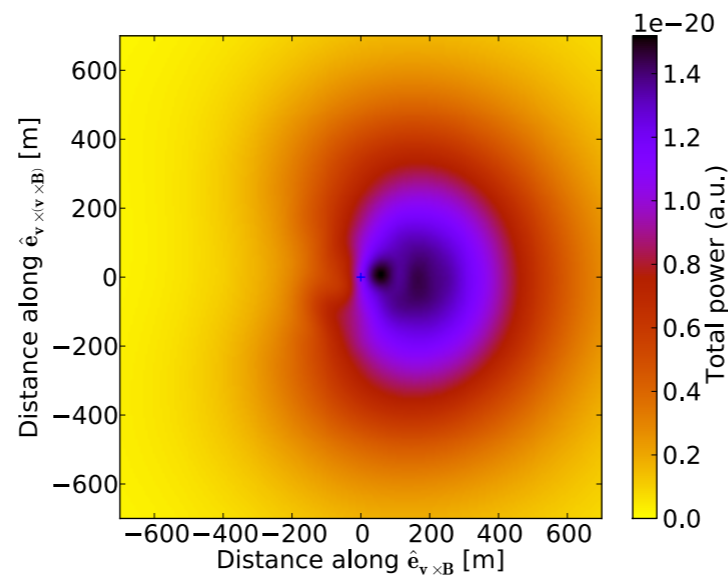


FIG. 18: Intensity footprints of  $10^{15}$  eV vertical showers for the 2 - 9 MHz band for the cases of no electric field (top),  $E_{\parallel} = 50$  kV/m (middle), and  $E_{\parallel} = 100$  kV/m (bottom).

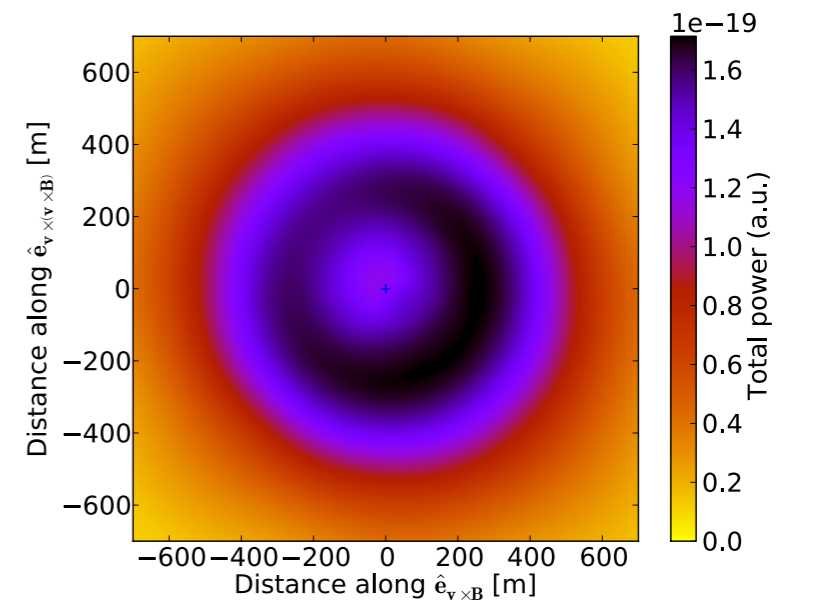
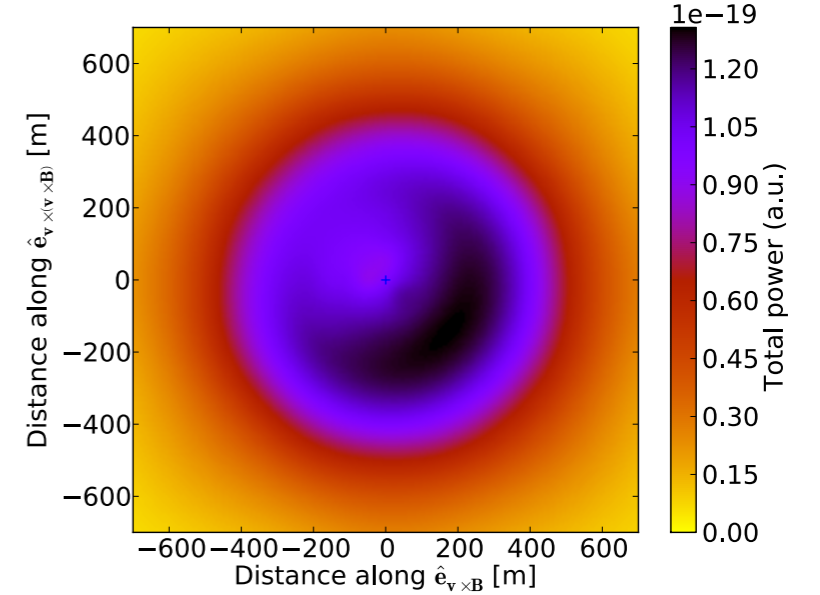


FIG. 19: Intensity footprints of  $10^{15}$  eV vertical showers for the 2 - 9 MHz band for the cases of  $F_{\perp} = 50$  keV/m (top) and  $F_{\perp} = 100$  keV/m (bottom).

2-9 MHz